

12. Grafuri orientate

- După cum s-a mai precizat, **grafurile orientate** sunt grafuri în care arcele care conectează nodurile au un singur sens.
 - Această restricție face mult mai dificilă evidențierea și exploatarea diverselor proprietăți ale grafurilor de acest tip.
 - Prelucrarea unui astfel de graf este identică cu o călătorie cu mașina într-un oraș cu foarte multe străzi cu sens unic sau cu o călătorie cu avionul într-o țară în care liniile aeriene nu sunt dus-întors.
 - În astfel de situații a ajunge dintr-un loc în altul poate reprezenta o adevărată problemă.
- De multe ori arcele orientate reflectă anumite tipuri de **relații de precedență** în aplicația pe care o modelează.
 - Spre **exemplu** un **graf orientat** poate fi utilizat ca model pentru o **linie de fabricație**:
 - Nodurile corespund diverselor operații care trebuie executate.
 - Arcele orientate ordonează temporal structura. Astfel, un arc de la nodul x la nodul y precizează faptul că operațiunea corespunzătoare nodului x trebuie executată **înaintea** celei corespunzătoare nodului y .
 - În acest context, problema care se pune este aceea de a executa toate aceste operații, fără a eluda niciuna dintre relațiile de precedență impuse.
- După cum s-a menționat în capitolul 10, **reprezentările grafurilor orientate** sunt simple extensii (de fapt simplificări) ale reprezentărilor grafurilor neorientate. Astfel:
 - În reprezentarea bazată pe **liste de adiacențe**, **fiecare arc** apare **o singură dată**: arcul de la nodul x la y este reprezentat prin prezența nodului y în lista de adiacențe a lui x .
 - În reprezentarea bazată pe **matrice de adiacențe**, arcul de la nodul x la y se marchează tot **o singură dată**, prin valoarea "adevărat" a elementului matricii de adiacențe situat în linia x , coloana y (nu și a elementului situat în linia y , coloana x).
- În figura 12.1.a apare un exemplu de **graf orientat**
 - Graful constă din arcele $AG, AB, CA, LM, JM, JL, JK, ED, DF, NI, FE, AF, GE, GC, HG, GJ, LG, IH, ML$.
 - **Ordinea** în care nodurile apar la specificarea arcelor este **semnificativă**.
 - Notăția AG precizând un arc care își are sursa în nodul A și destinația în nodul G .

- Este însă posibil ca între două noduri să existe două arce având sensuri opuse (exemplu HI și IH, respectiv LM și ML).

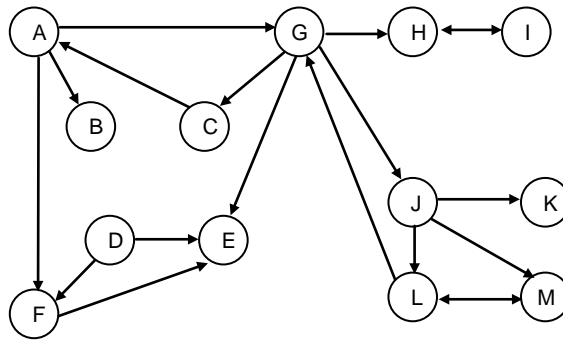


Fig.12.1.a. Exemplu de graf orientat.

- Pornind de la această precizare este ușor de observat faptul că un **graf neorientat** poate fi asimilat cu **graful orientat** identic ca și structură, care conține pentru fiecare arc al grafului neorientat două arce opuse.
 - În acest context unii dintre algoritmii dezvoltați în acest capitol, pot fi considerați **generalizări** ale **algoritmilor** din capitolele anterioare.
- În cadrul acestui capitol vor fi prezentate unele dintre problemele specifice acestei categorii de grafuri precum și o serie de algoritmi consacrați care le soluționează.
- Este vorba despre:
 - (1) Problema drumurilor minime cu origine unică.
 - (2) Problema drumurilor minime corespunzătoare tuturor perechilor de noduri.
 - (3) Închiderea tranzitivă.
 - (4) Grafuri orientate aciclice.
 - (5) Componente conectate în grafuri orientate.
 - (6) Problema rețelelor de curgere.
 - (7) Problema potrivirilor.

12.1. Problema drumurilor minime cu origine unică ("Single-Source Shortest Path Problem")

- O primă problemă care se abordează în contextul grafurilor orientate este următoarea:
 - Se consideră un graf orientat $G=(N,A)$ în care fiecare arc are o **pondere pozitivă** și pentru care se precizează un nod pe post de "**origine**".
 - Se cere să se determine **costul** celui mai scurt drum de la origine la oricare alt nod al grafului.
 - Conform celor deja precizate, **costul** unui drum este **suma ponderilor arcelor** care formează drumul.

- Această problemă este cunoscută sub numele de **problema drumurilor minime cu origine unică** (“single source shortest path problem”).
- Desigur o abordare mai naturală, ar fi aceea care-și propune să determine **cel mai scurt drum de la o origine la o destinație precizată**.
 - Această problemă are același grad de dificultate ca și problema anterioară care de fapt o **generalizează**.
 - Astfel, pentru a rezolva această ultimă problemă, este suficient ca execuția algoritmului care determină drumurile minime cu origine unică să fie oprită în momentul în care se ajunge la destinația precizată.
- Exact ca și în cazul grafurilor ponderate neorientate, ponderea poate avea semnificația fizică a unui cost, a unei valori, a unei lungimi, a unui timp, etc.
- Intuitiv, graful G poate fi asimilat spre exemplu, cu o hartă a traseelor aeriene ale unui stat în care:
 - Fiecare nod reprezintă un oraș.
 - Fiecare arc (x, y) reprezintă o legătură aeriană de la orașul x la orașul y .
 - Ponderea unui arc (x, y) poate fi timpul de zbor sau prețul biletului.
- Desigur, ca model ar putea fi utilizat și un graf neorientat deoarece ponderea arcului (x, y) trebuie să fie în principiu aceeași cu cea a arcului (y, x) .
 - În realitate pe de o parte **nu** toate traseele aeriene sunt dus-întors, iar pe de altă parte dacă ele sunt dus-întors, timpul de zbor s-ar putea să difere în cele două sensuri.
 - În orice caz, considerând arcele (x, y) și (y, x) cu ponderi identice, aceasta nu conduce la o simplificare a rezolvării problemei.

12.1.1. Algoritmul lui Dijkstra

- Pentru a rezolva problema drumurilor minime cu origine unică, o manieră clasică de abordare o reprezintă utilizarea unui algoritm bazat pe tehnica “**greedy**” adesea cunoscut sub denumirea de “**algoritmul lui Dijkstra**”
 - Acest algoritm a fost publicat de către **E.W. Dijkstra** în anul 1959.
- Algoritmul se bazează pe o **structură de date mulțime** M care conține nodurile pentru care cea mai scurtă distanță la nodul origine este deja cunoscută.
 - Inițial M conține numai nodul **origine**.
 - În fiecare pas al execuției algoritmului, se adaugă mulțimii M un nod x care **nu** aparține încă mulțimii și a cărui distanță de la origine este cât mai scurtă posibil.
 - Presupunând că toate arcele au ponderi pozitive, întotdeauna se poate găsi un **drum minim** care leagă originea de nodul x , drum care trece **numai** prin nodurile conținute de M .
 - Un astfel de drum se numește “**drum special**”.
 - Pentru înregistrarea **lungimii drumurilor speciale** corespunzătoare nodurilor grafului se utilizează un tablou D care este actualizat în fiecare pas al algoritmului.

- În momentul în care M include toate nodurile grafului, toate drumurile sunt speciale și în conștiință, tabloul D memorează cea mai scurtă distanță de la origine la fiecare nod al grafului.
- Schița de principiu a **algoritmului lui Dijkstra** apare în secvența [12.1.1.a].

procedura Dijkstra;

```

/*Determină costurile celor mai scurte drumuri care
conectează nodul 1, considerat drept origine, cu toate
celelalte noduri ale unui graf orientat. Distanțele se
pastrează în tabloul D*/

[1] M=[1]; /*nodul origine*/
    /*inițializarea tabloului de distanțe D*/
[2] pentru (i=2 la n)
[3]   D[i]=COST[1,i];                               /*[12.1.1.a]*/
    /*determinarea drumurilor minime*/
[4] pentru (i=1 la n-1)
[5]   *alege un nod x aparținând mulțimii N-M astfel
      încât D[x] să fie minim;
[6]   *adaugă pe x lui M;
      /*actualizare distanțe*/
[7]   pentru (fiecare nod y din mulțimea N-M)
[8]     D[y]= min(D[y], D[x]+COST[x,y])
      □ /*pentru*/
/*Dijkstra*/

```

- Referitor la algoritmul lui **Dijkstra**, se presupune că:
 - Se dă un **graf orientat ponderat** $G=(N,A)$ unde $N=\{1,2,3,\dots,n\}$.
 - Nodul 1 este considerat drept origine.
 - COST este un tablou cu două dimensiuni unde $COST[i,j]$ reprezintă costul deplasării de la nodul i la nodul j pe arcul (i,j) .
 - Dacă arcul (i,j) nu există, se presupune că $C[i,j]$ este ∞ , respectiv are o valoare **mai mare decât orice cost**.
 - La fiecare iterație a algoritmului, tabloul $D[i]$ conține lungimea drumului special minim curent de la origine la nodul i.
- Pentru exemplificare, se prezintă execuția algoritmului lui Dijkstra pentru graful orientat din figura 12.1.1.a.

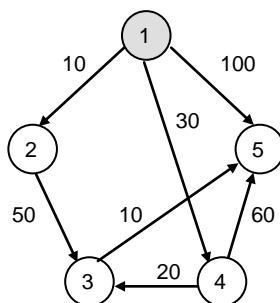
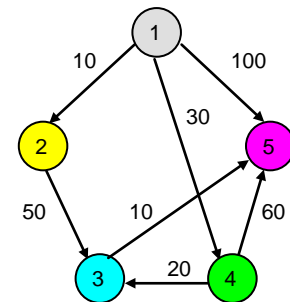


Fig.12.1.1.a. Graf orientat ponderat

- Inițial $M = \{1\}$, $D[2] = 10$, $D[3] = \infty$, $D[4] = 30$ și $D[5] = 100$.
- În prima iterație a buclei **pentru** din liniile [4]–[8], se selectează $x=2$ ca fiind nodul de distanță minimă din D .
- În continuare se face $D[3] = \min(\infty, 10 + 50) = 60$.
 - $D[4]$ și $D[5]$ **nu** se modifică deoarece în ambele cazuri, drumul direct care conectează nodurile respective cu originea este mai scurt decât drumul care trece prin nodul 2.
- În continuare, modul în care se modifică tabloul D după fiecare iterație a buclei **pentru** mai sus precizate apare în figura 12.1.1.b.

Iteratia	M	x	D[2]	D[3]	D[4]	D[5]
Initial	{1}	–	10	∞	30	100
(1)	{1,2}	2	10	60	30	100
(2)	{1,2,4}	4	10	50	30	90
(3)	{1,2,4,3}	3	10	50	30	60
(4)	{1,2,4,3,5}	5	10	50	30	60



x	1	2	3	4	5
Parinte[x]	0	1	4	1	3

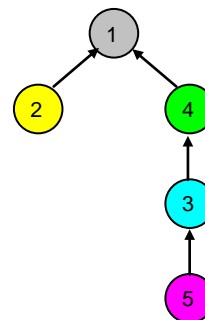


Fig.12.1.1.b. Determinarea drumurilor minime cu origine unică în baza algoritmului lui Dijkstra

- În vederea reconstrucției drumurilor minime de la origine la fiecare nod al grafului, se utilizează un alt tablou denumit *Părinte*.
 - În acest tablou, $Părinte[x]$ memorează nodul care precede nodul x în cadrul drumului minim, adică memorează tatăl nodului x .
 - Tabloul *Părinte* se inițializează cu $Părinte[i] = 1$ pentru toate valorile lui $i \neq 1$.
 - Tabloul *Părinte* poate fi actualizat după linia [8] în procedura Dijkstra din secvența [12.1.1.a].
 - Astfel, dacă în linia [8], $D[x] + COST[x, y] < D[y]$, atunci se face $Părinte[y] = x$.

- După terminarea procedurii, drumul la fiecare nod poate fi reconstituit în sens invers mergând pe înlănțuirile indicate de tabloul *Părinte*.
- Astfel, pentru graful orientat din fig. 12.1.1.a, tabloul *Părinte* conține valorile precizate în figura 12.1.1.b.
 - Pentru a găsi spre exemplu, drumul minim de la nodul 1 la nodul 5 al grafului, se determină predecesorii (părinții) în ordine inversă începând cu nodul 5.
 - Astfel se determină 3 ca predecesorul lui 5, 4 ca predecesor al lui 3, 1 ca predecesor al lui 4.
 - În consecință drumul cel mai scurt de la nodul 1 la nodul 5 este 1, 4, 3, 5 iar lungimea sa 60 este memorată în $D[5]$.
- În aceeași figură apare reprezentat și **arborele de acoperire corespunzător drumurilor minime cu origine unică** atașat grafului din figura 12.1.1.a.

12.1.2. Demonstrarea funcționalității algoritmului lui Dijkstra

- Algoritmul lui Dijkstra este un exemplu de tehnică “**greedy**” în sensul că ceea ce apare local ca fiind cea mai bună activitate de realizat la un moment dat, reprezintă de fapt cel mai bun lucru de realizat la nivelul întregului la acel moment.
 - În acest caz, cel mai bun lucru de realizat la nivel local este acela de a determina distanța la acel nod x care este situat în afara mulțimii M și care are **cel mai scurt drum special** la momentul considerat.
- Pentru a demonstra că în această situație **nu** poate exista un alt drum nespecial mai scurt de la nodul x la origine decât drumul special care cuprinde **numai** noduri din M , se va utiliza **metoda reducerii la absurd**.
 - Se presupune că **există** un drum ipotetic nespecial, mai scurt decât drumul de la origine la nodul x , care întâi părăsește mulțimea M , atinge nodul z , iar apoi (probabil) intră și iese din M de câteva ori înainte de a ajunge la x (fig.12.1.2.a. (a)).

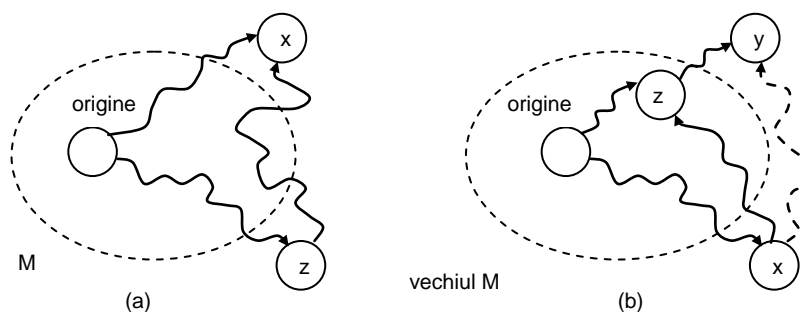


Fig.12.1.2.a. Drum minim ipotetic și drum special minim imposibil

- Dacă acest drum este mai scurt decât drumul special care leagă originea de x , atunci segmentul inițial al drumului care leagă originea de z , este un drum special la z , mai scurt decât cel mai scurt drum special la x .
 - Trebuie subliniată în acest context importanța faptului că valorile ponderilor sunt **pozitive**.

- Fără această restricție, presupunerea avansată poate fi incorectă după cum întreaga funcționare a algoritmului lui Dijkstra poate fi incorectă.
- În acest caz însă, în linia [5] a algoritmului din secvența [12.1.1.a] ar fi fost ales nodul z și nu nodul x , deoarece $D[z] < D[x]$ conform celor presupuse.
- Întrucât acest lucru **nu** s-a întâmplat, rezultă că **nu** există un astfel de nod z și că ipoteza formulată conduce la o contradicție.
- Pentru a completa demonstrația funcționalității algoritmului lui Dijkstra, mai trebuie verificat dacă în fiecare moment, $D[y]$ reprezintă într-adevăr **cea mai scurtă distanță** a unui drum special la nodul y .
- Esența acestei argumentații rezidă în observația că atunci când se adaugă un nou nod x mulțimii M în linia [6] a secvenței [12.1.1.a], liniile [7] și [8] ajustează pe D luând în considerare posibilitatea de a exista în acel moment un drum special mai scurt spre y trecând prin nodul x .
 - Dacă există, acest drum trece prin vechiul M , ajunge la x și de aici imediat la y , și costul său, $D[x] + \text{COST}[x, y]$, va fi comparat cu $D[y]$ în linia [8].
 - Dacă noul drum special este mai scurt, $D[y]$ va fi redus în consecință.
 - Această verificare se realizează pentru fiecare nod y încă neselectat, adică aparținând mulțimii $N-M$
- Singura **altă** posibilitate pentru un **drum mai scurt** apare în figura 12.1.2.a. (b), în care un astfel de drum înaintează spre x , revine în vechiul M la un membru oarecare z al acestuia, iar apoi atinge pe y .

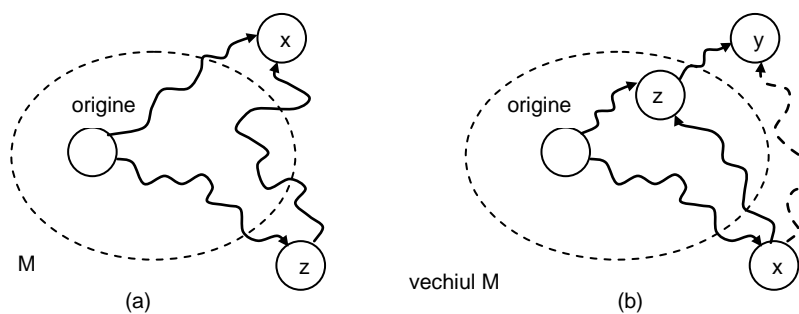


Fig.12.1.2.a. Drum minim ipotetic și drum special minim imposibil (reluare)

- În realitate un astfel de drum **nu poate exista**.
- Deoarece z a fost plasat în M înaintea lui x , cel mai scurt dintre toate drumurile care conectează originea cu z trece obligatoriu prin vechiul M .
- Deci drumul la z trecând prin x , prezentat în figura 12.1.2.a. (b), **nu** este mai scurt decât drumul direct la z prin M .
- În consecință, lungimea drumului din figura 12.1.2.a. (b), de la origine la y , trecând prin x și z **nu este mai mică** decât vechea valoare $D[y]$, de vreme ce $D[y]$ **nu a fost mai mare** decât lungimea celui mai scurt drum la z prin M și apoi direct la y la momentul selecției nodului z .

- Astfel $D[y]$ **nu** va fi modificat în linia [8] a secvenței [12.1.1.a] de un drum trecând prin x și z (fig.12.1.2.a (b)), motiv pentru care lungimea unui astfel de drum **nu** este luată în considerare în cadrul algoritmului.

12.1.3. Analiza performanței algoritmului lui Dijkstra

- Se presupune că algoritmul din secvența [12.1.1.a] reluată mai jos, operează asupra unui graf orientat cu n noduri și a arce.

procedura Dijkstra;

```
/*Determină costurile celor mai scurte drumuri care
conectează nodul 1, considerat drept origine, cu toate
celelalte noduri ale unui graf orientat. Distanțele se
pastrează în tabloul D*/

[1] M=[1]; /*nodul origine*/
    /*inițializarea tabloului de distanțe D*/
[2] pentru (i=2 la n)
[3]   D[i]=COST[1,i];                                /*[12.1.1.a]*/
    /*determinarea drumurilor minime*/
[4] pentru (i=1 la n-1)
[5]   *alege un nod x aparținând mulțimii N-M astfel
      încât D[x] să fie minim;
[6]   *adaugă pe x lui M;
      /*actualizare distanțe*/
[7]   pentru (fiecare nod y din mulțimea N-M)
[8]     D[y]= min(D[y], D[x]+COST[x,y])
      □ /*pentru*/
/*Dijkstra*/
```

- (1) Dacă pentru reprezentarea grafului se utilizează o **matrice de adiacențe**, atunci bucla **pentru** din liniile [7] – [8] necesită un efort de calcul proporțional cu $O(n)$.
 - Întrucât această buclă este executată de $n-1$ ori, (bucloa **pentru** din linia [4]), timpul total de execuție va fi proporțional cu $O(n^2)$.
 - Este ușor de observat că restul algoritmului **nu** necesită timpi superiori acestei valori.
- (2) Dacă a este mult mai mic decât n^2 , este mai indicat ca în reprezentarea grafului să se utilizeze **liste de adiacențe**, respectiv o **coadă bazată pe prioritate** implementată ca un ansamblu (arbore binar parțial ordonat), pentru a păstra distanțele la nodurile mulțimii $N-M$.
 - În aceste condiții, bucla **pentru** din liniile [7] – [8] poate fi implementată ca și o traversare a **listei de adiacențe** a lui x cu actualizarea distanțelor nodurilor din **coada bazată pe prioritate**.
 - În total, pe întreaga durată a execuției procedurii, se vor realiza a actualizări, fiecare cu un efort proporțional cu $O(\log_2 n)$, astfel încât timpul total consumat în liniile [7] – [8] va fi proporțional cu $O(a \log_2 n)$ și nu cu $O(n^2)$.
 - În mod evident liniile [2] – [3] necesită asemenea liniilor [4] – [6] un efort de calcul proporțional cu $O(n)$.

- Utilizând pentru reprezentarea mulțimii $N-M$ o **coadă bazată pe priorități**, linia [5] implementează operația de extragere a elementului cu prioritatea minimă din coadă, fiecare din cele $n-1$ iterații ale acestei linii necesitând $O(\log_2 n)$ unități de timp, în total $O(n \log_2 n)$.
- În consecință, **timpul total** consumat de această variantă a algoritmului lui Dijkstra este limitat la $O(a \log_2 n)$ ($a \geq n-1$), performanță care este considerabil mai bună decât $O(n^2)$.
- Se reamintește faptul că această performanță se poate obține numai dacă a este mult mai mic în raport cu n^2 .

12.2 Problema drumurilor minime corespunzătoare tuturor perechilor de noduri ("All-Pairs Shortest Path Problem")

- Se presupune că există un **graf orientat ponderat** conținând timpii de zbor pentru anumite trasee aeriene care conectează orașe și că se dorește construcția unei table care furnizează **cei mai scurți timpi de zbor** între oricare două orașe.
 - Aceasta este o instanță a **problemei drumurilor minime corespunzătoare tuturor perechilor de noduri** ("all-pairs shortest paths problem").
- Pentru a formula problema în **termeni formali**, se presupune că se dă un **graf orientat ponderat** $G = (N, A)$, în care fiecare arc (x, y) are o pondere pozitivă $COST[x, y]$.
 - Rezolvarea **problemei drumurilor minime corespunzătoare tuturor perechilor de noduri** pentru graful G , presupune determinarea pentru fiecare pereche ordonată de noduri (x, y) , unde $x, y \in N$, a **lungimii drumului minim** care conectează nodul x cu nodul y .
- Această problemă poate fi rezolvată cu ajutorul **algoritmului lui Dijkstra**, considerând pe rând, fiecare nod al grafului G drept origine.
 - De fapt rezultatul execuției algoritmului lui Dijkstra este un **tablou** care conține distanțele de la origine la restul nodurilor grafului.
 - În cazul de față, deoarece este necesară determinarea distanțelor pentru toate perechile de noduri, avem nevoie de o **matrice de elemente** în care fiecare **rând** se poate determina în baza algoritmului lui Dijkstra.
- O rezolvare mai directă a **problemei drumurilor minime corespunzătoare tuturor perechilor de noduri ale unui graf**, este datorată **algoritmului lui R.W. Floyd** datând din anul 1962.

12.2.1. Algoritmul lui Floyd

- Fie **graful orientat ponderat** $G = (N, A)$ care are atașată matricea de ponderi $COST$.
 - Pentru conveniență, se consideră că nodurile mulțimii N sunt numerotate de la 1 la n .
- **Algoritmul lui Floyd** utilizează o matrice A de dimensiuni $n \times n$ cu ajutorul căreia determină **lungimile drumurilor minime** între toate perechile de noduri.
 - Inițial se face $A[i, j] = COST[i, j]$ pentru toți $i \neq j$.

- Dacă nu există niciun arc de la nodul i la nodul j , se presupune că $\text{COST}[i, j] = \infty$.
- Elementele diagonalei principale a matricei A se pun toate pe 0.
- **Algoritmul lui Floyd** execută n iterații asupra matricii A .
 - După cea de-a k -a iterație, $A[i, j]$ va conține lungimea minimă a unui drum de la nodul i la nodul j , care **nu** trece prin nici un nod cu număr mai mare ca și k .
 - Cu alte cuvinte, i și j pot fi oricare două noduri ale grafului care delimitează începutul și sfârșitul drumului, dar orice nod intermediar care intră în alcătuirea drumului trebuie să aibă numărul mai mic sau cel mult egal cu k .
 - În cea de-a k iterație, se examinează nodul k și se utilizează următoarea **formulă** în calculul lui A (formula [12.2.1.a]):

$$A_k[i, j] = \min \begin{cases} A_{k-1}[i, j] \\ A_{k-1}[i, k] + A_{k-1}[k, j] \end{cases} \quad [12.2.1.a]$$

- Se face precizarea că indicele k semnifică **momentul de timp** la care se realizează calculul matricei A (în cadrul celei de-a k iterații) și **nu** faptul că ar exista n matrici A , fiind utilizat pentru o înțelegere mai facilă a funcționării algoritmului.
- Formula de mai sus are interpretarea simplă precizată în figura 12.2.1.a.

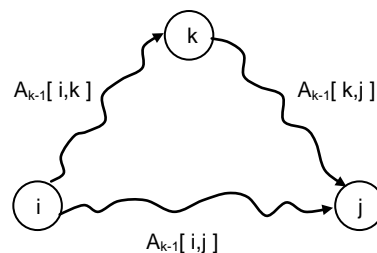


Fig.12.2.1.a. Selecția drumului minim de la nodul i la nodul j la momentul k

- Pentru calculul lui $A_k[i, j]$ la momentul curent, se compară $A_{k-1}[i, j]$ - adică costul drumului de la i la j fără a trece prin nodul k sau oricare alt nod cu număr mai mare ca și k , la momentul anterior, cu $A_{k-1}[i, k] + A_{k-1}[k, j]$ - adică costul drumului de la i la k însumat cu costul drumului de la k la j fără a trece prin nici un nod cu număr mai mare ca și k , tot la momentul anterior.
- Dacă drumul din urmă se dovedește a fi mai scurt, atunci el este atribuit valorii $A_k[i, j]$, altfel aceasta rămâne identică cu valoarea anterioară.

- Pentru graful ponderat din figura 12.2.1.b. (a), se prezintă în cadrul aceleiași figuri modul în care se modifică matricea A pornind de la conținutul ei inițial A_0 și terminând cu conținutul său final A_3 .

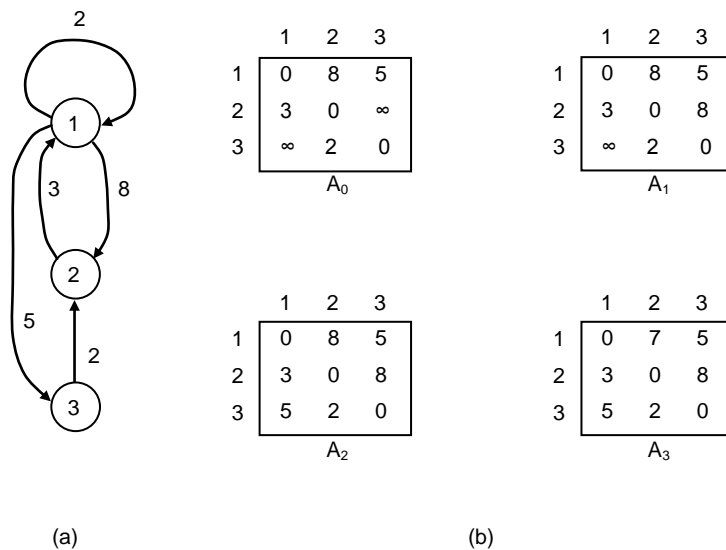


Fig.12.2.1.b. Calculul lungimii drumurilor minime corespunzătoare tuturor perechilor de noduri ale unui graf utilizând algoritmul lui Floyd

- Deoarece $A_k[i, k] = A_{k-1}[i, k]$ și $A_k[k, j] = A_{k-1}[k, j]$, nici o intrare a matricii A în care intervine pe post de indice valoarea k, **nu** se modifică în timpul celei de-a k-a iterații.
 - Cu alte cuvinte, matricea A este **invariantă** în raport cu indicele k.
- În consecință se poate utiliza **o singură copie a matricii A**.
- Structura de principiu a procedurii care implementează **algoritmul lui Floyd** în baza considerentelor mai sus enunțate apare în secvența [12.2.1.a].

PROCEDURE Floyd(float A[n,n], float COST[n,n])

*/*Procedura determină matricea drumurilor minime A pornind de la matricea ponderilor COST*/*

```

    int i, j k;
    /*matricea A se inițializează cu matricea COST*/
[1] pentru (i=1 la n)
[2]     pentru (j=1 la n)
[3]         A[i,j]=COST[i,j];                /*[12.2.1.a]*/
    /*diagonala principală a lui A pe zero*/
[4] pentru (i=1 la n)
[5]     A[i,i]=0;
    /*determinarea matricii lungimilor drumurilor minime A*/
[6] pentru (k=1 la n)
[7]     pentru (i=1 la n)
[8]         pentru (j=1 la n)
[9]             daca (A[i,k]+A[k,j]<A[i,j])
[10]                A[i,j]=A[i,k]+A[k,j];

```

- Timpul de execuție al acestei proceduri este în mod clar proporțional cu $O(n^3)$ deoarece la baza sa stă o buclă triplă încuibată.
- Verificarea corectitudinii funcționării algoritmului se poate realiza simplu prin metoda inducției.
 - Astfel este ușor de demonstrat că după ce k trece prin bucla triplă **pentru**, $A[i, j]$ memorează lungimea celui mai scurt drum de la nodul i la nodul j care în niciun caz nu trece printr-un nod cu număr mai mare ca și k [AH85].

12.2.2. Comparație între algoritmul lui Floyd și algoritmul lui Dijkstra

- Pentru grafuri reprezentate prin **matrici de adiacențe**:
 - (1) Versiunea **algoritmului Dijkstra** determină drumurile minime specifice unui nod precizat cu performanța $O(n^2)$.
 - (2) **Algoritmul lui Floyd** determină toate drumurile minime cu performanța $O(n^3)$.
 - Constantele de proporționalitate reale depind de natura compilatorului, de sistemul de calcul și de implementarea propriu-zisă.
 - De fapt activitatea experimentală și măsurătorile reale reprezintă cele mai bune criterii de apreciere a performanțelor unui algoritm.
- În **condițiile** în care numărul de arce a este **mult mai redus** decât n^2 și grafurile sunt reprezentate prin **structuri de adiacențe**:
 - (1) **Algoritmul lui Floyd** își păstrează performanța stabilită $O(n^3)$.
 - (2) Este de așteptat ca **algoritmul lui Dijkstra** să se comporte mai bine.
 - Astfel după cum s-a precizat, acest algoritm determină drumurile minime corespunzătoare unui nod precizat (origine) cu un efort de calcul proporțional cu $O(a \log_2 n)$.
 - În consecință utilizând această variantă de algoritm, problema drumurilor minime corespunzătoare tuturor perechilor de noduri se poate rezolva aplicând algoritmul lui Dijkstra tuturor nodurilor grafului cu performanța $O(na \log_2 n)$.
 - Se face din nou precizarea că această performanță se poate obține atunci când $a \ll n^2$ respectiv în cazul **grafurilor rare de mari dimensiuni**.

12.2.3. Determinarea traseelor drumurilor minime

- Algoritmii dezvoltăți în cadrul acestui paragraf determină de fapt **costurile drumurilor minime**.
 - De multe ori, în practică este însă foarte util a se cunoaște și **traseul** acestor drumuri minime.
- Pentru a rezolva această problemă, în contextul **algoritmului lui Floyd** este necesară utilizarea unei alte matrici numite Drum.
 - În matricea Drum, o locație $\text{Drum}[i, j]$ memorează indicele celui nod k care conduce în cadrul algoritmului la cea mai mică valoare pentru $A[i, j]$.
 - Dacă $\text{Drum}[i, j]=0$ atunci cel mai scurt drum este cel direct de la nodul i la nodul j .
- Varianta modificată a **algoritmului lui Floyd** care determină și matricea Drum apare în secvența [12.2.3.a].

```

-----
/*definirea matricii care memorează traseele drumurilor
minime*/
float Drum[n,n];

PROCEDURE Floyd(float A[n,n], float COST[n,n])

/*Procedura determină matricea A care memorează lungimile
drumurilor minime pornind de la matricea ponderilor COST. În
plus determină traseul drumurilor minime în matricea Drum*/

    int i,j k;
    /*inițializarea matricilor A și Drum*/
[1] pentru (i=1 la n)
[2]     pentru (j=1 la n)
[3]         A[i,j]=COST[i,j];
[4]         Drum[i,j]=0;
           □                                     /*[12.2.3.a]*/
    /*diagonala principală a lui A pe zero*/
[5] pentru (i=1 la n)
[6]     A[i,i]= 0;
    /*determinarea lungimii drumurilor minime în matricea A
    și a traseelor acestor drumuri în matricea Drum*/
[7] pentru (k=1 la n)
[8]     pentru (i=1 la n)
[9]         pentru (j=1 la n)
[10]            dacă (A[i,k]+A[k,j]<A[i,j])
[11]                A[i,j]=A[i,k]+A[k,j];
[12]                Drum[i,j]=k;
           □
/*Floyd*/
-----

```

- Matricea Drum este de fapt o **colecție de arbori corespunzători drumurilor minime**, câte unul pentru fiecare nod al grafului original, considerat drept origine,.
- Afișarea **traseului drumului minim** de la nodul i la nodul j , prin evidențierea nodurilor intermediare se poate realiza cu ajutorul procedurii recursive **Traseu** (secvența [12.2.3.b]).

```
PROCEDURE Traseu(int i,j)
```

```
/*Afișează traseul drumului minim de la nodul i la nodul j*/
```

```
int k;
```

```
/*[12.2.3.b]*/
```

```
k=Drum[i,j];
```

```
daca (k!=0)
```

```
    Traseu(i,k);
```

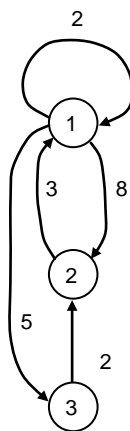
```
    *scrie(k);
```

```
    Traseu(k,j);
```

```
    □
```

```
/*Traseu*/
```

- Procedura **Traseu** aplicată unei matrici oarecare ar putea cicla la infinit.
 - Acest lucru **nu** se întâmplă în situația în care ea este aplicată matricii Drum, deoarece este imposibil ca un nod oarecare k să apară în drumul minim de la nodul i la nodul j și în același timp j să apară în drumul minim de la i la k .
 - Se reamintește din nou importanța crucială a valorilor **pozitive** a ponderilor arcelor grafului.
- În figura 12.2.3.a apare conținutul final al matricii Drum (b) pentru graful orientat din aceeași figura (a).



(a)

	1	2	3
1	0	3	0
2	0	0	1
3	2	0	0

matricea Drum

(b)

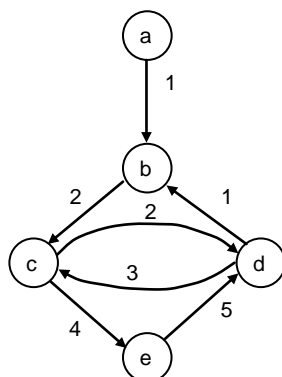
Fig.12.2.3.a. Matricea traseelor drumurilor minime (b) corespunzătoare grafului (a).

12.2.4. Aplicație. Determinarea centrului unui graf orientat ponderat

- Se presupune că se dă graful orientat ponderat $G=(N,A)$ și se cere să se determine **cel mai central nod** al său adică **centrul grafului**.
- Pentru a defini termenul de “**cel mai central nod**” se definește pentru început noțiunea de **excentricitate a unui nod** aparținând unui graf ponderat.
 - Excentricitatea** unui nod $x \in N$ este precizată de formula [12.2.4.a]:

$$\text{Excentricitate}[x] = \max_{y \in N} \{\text{drumurile minime de la } x \text{ la } y\} \quad [12.2.4.a]$$

- Cu alte cuvinte, **excentricitatea** unui nod al unui graf ponderat este **valoarea maximă** dintre lungimile drumurilor minime de la nodul respectiv la toate celelalte noduri ale grafului.
- Centrul unui graf** G este nodul a cărui excentricitate este **minimă**.
 - Spre exemplu pentru graful din figura 12.2.4.a. (a), valorile **excentricităților** nodurilor apar în tabloul (c) din aceeași figură.
 - Conform definiției anterioare, centrul grafului G este nodul d .
- Utilizând **algoritmul lui Floyd**, determinarea **centrului unui graf** G se poate realiza simplu.
- Presupunând că **ponderilor arcelor grafului** sunt memorate în matricea $COST$, se procedează astfel:
 - (1) Se determină cu ajutorul **procedurii Floyd** matricea drumurilor minime corespunzătoare tuturor perechilor de noduri (fig.12.2.4.a. (b)).
 - (2) Se determină **excentricitățile nodurilor** $i, (1 \leq i \leq N)$ găsind valoarea maximă de pe fiecare coloană i a matricei.
 - (3) Se caută nodul cu **excentricitatea minimă**. Acesta este centrul grafului G .
- În figura 12.2.4.a. (b) apare matricea valorilor drumurilor minime pentru graful din aceeași figură (a).
 - Determinarea nodului central al grafului este evidentă.



(a)

	a	b	c	d	e
a	0	1	3	5	7
b	∞	0	2	4	6
c	∞	3	0	2	4
d	∞	1	3	0	7
e	∞	6	8	5	0
max	∞	6	8	5	7

(b)

nod	excentricitate
a	∞
b	6
c	8
d	5
e	7

(c)

12.3. Închiderea tranzitivă

- În grafurile neorientate, nodurile la care se poate ajunge pornind de la un nod precizat, cu alte cuvinte conexiunile unui nod la grafului, pot fi determinate simplu aplicând **proprietățile de conectivitate** ale grafurilor.
 - Pur și simplu, toate nodurile la care se poate ajunge în procesul de căutare aparțin unei aceleiași **componente conexe a grafului**.
- Această observație este valabilă în principiu și în cazul **grafurilor orientate** cu precizarea însă că în această situație, rezolvarea este mai complexă și ea **nu** poate fi redusă la simpla determinare a componentelor conexe.
- O modalitate de a rezolva problemele de conectivitate în cazul **grafurilor orientate** este următoarea:
 - Se **completează** graful inițial cu arce pe baza următoarei metode: dacă în graful inițial se poate ajunge într-un mod oarecare de la nodul x la nodul y parcurgând arcele orientate ale grafului, atunci se adaugă grafului arcul (x, y) .
- Graful care se obține adăugând **toate arcele** de această natură se numește **închiderea tranzitivă** a grafului inițial.
 - Deoarece este de așteptat să fie adăugate un număr mare de arce, deci graful obținut să fie dens, se apreciază că pentru **închiderea tranzitivă**, cea mai potrivită metodă de reprezentare este cea bazată pe **matrice de adiacențe**.
- Odată determinată închiderea tranzitivă a unui graf orientat, răspunsul la întrebarea: “Există un drum în graful orientat de la nodul x la nodul y ?” este imediat.
- **Algoritmul lui Floyd** poate fi specializat astfel încât să determine **închiderea tranzitivă** a unui graf G .
 - Algoritmul care rezultă se numește **algoritmul lui Warshall** și care deși a apărut tot în anul 1962 este anterior ca dată algoritmului lui Floyd.

12.3.1. Algoritmul lui Warshall

- **Algoritmul lui Warshall** se bazează pe observația simplă că, dacă într-un graf orientat există o modalitate de a ajunge de la nodul i la nodul k și o modalitate de a ajunge de la nodul k la nodul j , parcurgând arce ale grafului, atunci cu siguranță există un drum care conectează nodul i cu nodul j .
 - Problema constă de fapt în a exploata de asemenea manieră această observație încât calculul să se realizeze la **o singură trecere prin matrice**.
- Acest lucru este posibil în baza următoarei interpretări sugerate de **Warshall**:
 - “Dacă există o posibilitate de a ajunge de la nodul i la nodul k utilizând numai noduri cu indici mai mici decât k , și o posibilitate de a ajunge de la

nodul k la nodul j în aceleași condiții, atunci există un drum de la nodul i la nodul j care străbate numai noduri care cu indicele mai mic ca și $k+1$ ”.

- În baza acestei interpretări, dându-se graful ordonat G și matricea sa de adiacențe A , **algoritmul lui Warshall** determină matricea T care reprezintă **închiderea tranzitivă** a grafului G .
 - În această matrice $T[i, j] = \text{true}$, dacă există posibilitatea de a ajunge de la nodul i la nodul j , altfel $T[i, j] = \text{false}$.
- Spre exemplu în figura 12.3.a. (b) apare închiderea tranzitivă în forma matricii T a grafului orientat din figura 12.3.a. (a).

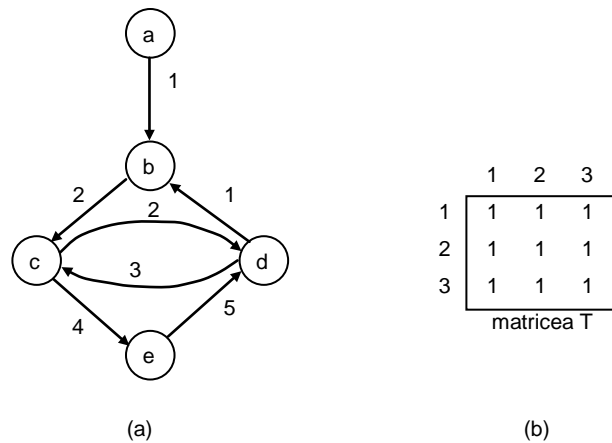


Fig.12.3.a. Închiderea tranzitivă a unui graf orientat

- **Închiderea tranzitivă** poate fi determinată aplicând o procedură similară procedurii **Floyd**, utilizând însă următoarea formulă de calcul în cea de-a k -a trecere prin matricea T (formula [12.3.a]):

$$T_k[i, j] = T_{k-1}[i, j] \text{ OR } (T_{k-1}[i, k] \text{ AND } T_{k-1}[k, j]) \quad [12.3.a]$$

- Această formulă precizează că există un drum de la nodul i la nodul j care nu trece printr-un nod cu număr mai mare ca și k dacă:
 - (1) Există deja un drum de la i la j care nu trece prin nici un nod cu număr mai mare decât $k-1$, **sau**
 - (2) Există un drum de la i la k care nu trece prin nici un nod cu număr mai mare decât $k-1$ **și** există un drum de la k la j , care nu trece prin niciun nod cu număr mai mare decât $k-1$.
- Ca și în cazul algoritmului lui Floyd, sunt valabile formulele $T_k[i, k] = T_{k-1}[i, k]$ și $T_k[k, j] = T_{k-1}[k, j]$, adică matricea T **este invariantă** în raport cu k , motiv pentru care în calcul se poate utiliza o singură instanță a matricii T .
- Structura de principiu a procedurii care implementează **algoritmul lui Warshall** apare în secvența [12.3.a].

/*Algoritmul lui Warshall - varianta C*/

```

void Warshall(Boolean A[n][n], Boolean T[n][n])

/*Procedura construiește în T închiderea tranzitivă a lui
A*/
{
    int i,j,k;

    /*inițializarea matricei T*/
[1] for (i=0;i<n;i++)
[2]     for (j=0;j<n;j++)
[3]         T[i,j]=A[i,j];           /*[12.3.a]*/

    /*determinarea matricei T*/
[4] for (k=0;k<n;k++)
[5]     for (i=0;i<n;i++)
[6]         for (j=0;j<n;j++)
[7]             if (T[i,j]==false)
[8]                 T[i,j]= T[i,k] && T[k,j];
}
/*Warshall*/
-----

```

12.3.2. Analiza performanței algoritmului lui Warshal

- În urma unei analize sumare a codului, performanța algoritmului rezultă imediat ca fiind egală cu $O(n^3)$.
- După alți autori, performanța poate fi stabilită și astfel:
 - Fiecare din cele n arce conduce la o iterație cu n pași în bucla **for** cea mai interioară.
 - În plus, sunt testate și eventual actualizate toate cele n^2 locații ale matricii T .
 - Rezultă un timp de execuție proporțional cu $O(n^3)$ [Se 88].

12.4. Traversarea grafurilor orientate

- Tehnicile fundamentate de traversare a grafurilor dezvoltate în cadrul capitolului 10, au un **caracter universal** și ele pot fi aplicate, cu particularizări specifice, oricărui tip de graf.
 - Astfel în cazul **grafurilor orientate**, în timpul traversării se ține cont efectiv de **orientarea arcelor** examinate, lucru care în contextul grafurilor neorientate **nu** este necesar.
 - Din acest motiv și arborii de acoperire rezultați în urma procesului de traversare a grafurilor orientate au o structură mai complicată.
- În cele ce urmează vor fi abordate unele aspecte legate de **traversarea grafurilor orientate** prin tehnica “**căutării în adâncime**”.
 - Opțiunea este motivată de faptul că această manieră de traversare a grafurilor orientate stă la baza rezolvării a numeroase probleme practice care se pun în legătură cu această categorie de grafuri.

12.4.1. Traversarea grafurilor orientate prin tehnica căutării "în adâncime"

- Principiul **traversării în adâncime** este deja cunoscut.
 - Se presupune că există un graf orientat G în care toate nodurile sunt marcate inițial cu "nevizitat".
 - Căutarea în adâncime acționează inițial selectând un nod x al lui G ca și nod de start, nod care este marcat cu "vizitat".
 - În continuare, fiecare nod nevizitat adiacent lui x este "căutat" pe rând, utilizând aceeași tehnică în manieră **recursivă**.
 - În momentul în care toate nodurile la care se poate ajunge pornind de la x au fost vizitate, traversarea este încheiată.
 - Dacă totuși mai rămân noduri nevizitate, se selectează unul dintre acestea drept următorul nod de start și se relansează căutarea recursivă.
 - Acest proces se repetă până când sunt parcurse toate nodurile grafului G .
- Pentru implementare se consideră că graful G care se dorește a fi traversat este reprezentat cu ajutorul **listelor de adiacențe**.
 - Se notează cu $L(x)$ lista de adiacențe a nodului x .
 - De asemenea se mai utilizează tabloul `marc`, ale cărui elemente pot lua valorile "nevizitat" respectiv "vizitat", tablou care este utilizat în menținerea evidenței stării nodurilor grafului.
- Structura de principiu a procedurii recursive de **căutare în adâncime** apare în secvența [12.4.1.a].
 - Această procedură trebuie apelată însă dintr-un context mai general care asigură inițializarea tabloului `marc` și selectarea nodurilor încă nevizitate ale grafului (secvența [12.4.1.b]).

/*Căutare în adâncime - varianta pseudocod*/

procedura CautInAdâncime(tip_nod x)

/*varianta pseudocod CautInAdacime*/

```
tip_nod k;  
  
[1] marc[x]= vizitat;  
[2] Prelucrare(x);  
[3] pentru (fiecare nod k din L(x))                               /*[12.4.1.a]*/  
[4]   daca (marc[k] este nevizitat)  
[5]     CautInAdâncime(k);  
  /*CautInAdâncime*/
```

/*Programul principal*/

```
/*inițializare tablou mark*/  
pentru (x=1 la n)  
  marc[x]= nevizitat;  
/*determinare componente conexe*/  
pentru (x= 1 la n)                               /*[12.4.1.b]*/
```

daca (marc[x] este nevizitat)
CautInAdâncime(x);

- Se face precizarea, că procedura **CautInAdâncime** nu realizează nici o prelucrare efectivă a nodurilor vizitate, aceasta fiind sugerată generic prin apelativul **Prelucrare**(x) în linia [2] a secvenței [12.4.1.a].
- După cum s-a precizat, această tehnică stă la baza rezolvării mai multor probleme specifice grafurilor orientate.
 - În consecință, prelucrarea nodurilor vizitate va îmbrăca o formă specifică funcție de problema care se dorește a fi soluționată în baza acestei tehnici de parcurgere a grafurilor orientate.
- **Performanța procedurii CautInAdâncime**, analizată în contextul parcurgerii unui graf orientat cu a arce, cu $n \leq a$, în reprezentarea bazată pe liste de adiacențe este $O(a)$, după cum s-a evidențiat în capitolul 10.
- Pentru **exemplificarea** procesului de traversare a grafurilor orientate prin metoda căutării în adâncime:
 - Se presupune că procedura din secvența [12.4.1.b] este aplicată grafului orientat din figura 12.4.1.a. (a), considerând că nodul de pornire este nodul a ($x=a$).
 - Graful se consideră reprezentat printr-o **structură de adiacențe** sugerată în aceeași figura (b).

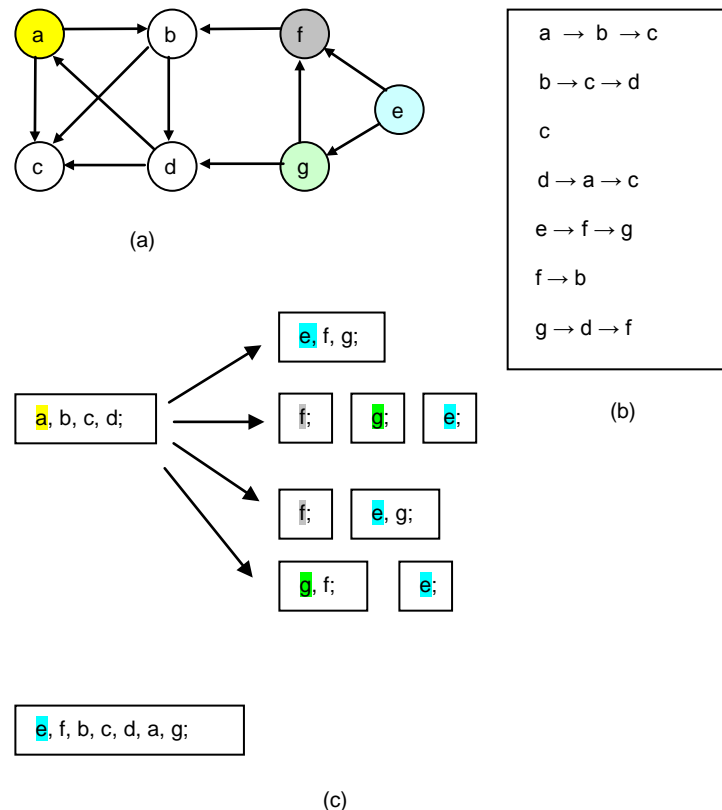


Fig.12.4.1.a. Traversarea unui graf orientat

- Algoritmul marchează nodul a cu vizitat și selectează nodul b, primul din lista de adiacențe a lui a.

- Deoarece nodul b este nevizitat, căutarea continuă prin realizarea unei apel **CautInAdâncime**(b).
- În continuare se marchează b cu vizitat și se selectează primul nod din lista sa de adiacențe.
- Presupunând că nodul c apare înaintea lui d în această listă, așa cum se prezintă în figură, se apelează **CautInAdâncime**(c).
- Deoarece lista de adiacențe a lui c este vidă, căutarea revine în lista lui b de unde se selectează nodul d .
- Se parcurge în continuare lista de adiacențe a lui d .
- Întrucât nodurile a și c care apar în lista de adiacențe a lui d au fost deja vizitate, căutarea lui d se încheie și se revine în lista lui b apoi în cea a lui a , care sunt și ele epuizate.
- În acest moment apelul inițial **CautInAdâncime**(a) s-a terminat.
- Totuși, deoarece graful nu a fost încă parcurs în întregime întrucât nodurile e, f și g sunt încă nevizitate, se realizează un nou apel al procedurii **CautInAdâncime** spre exemplu pentru nodul e , apel care asigură parcurgerea integrală a grafului.
- Se face următoarea **observație**:
 - Dacă graful din fig.12.4.1.a. (a) ar fi un **graf neorientat**, el ar reprezenta o **singură componentă conexă** și ar putea fi parcurs integral, realizând un singur apel al procedurii **CautInAdâncime** din cadrul secvenței [12.4.1.b] **indiferent** de nodul care este selectat drept **punct de start**.
- În cazul **grafurilor orientate** situația se schimbă.
 - Numărul de apeluri nerecursive ale procedurii **CautInAdâncime**, realizat în cadrul secvenței [12.4.1.b] depinde în mod esențial de ordinea în care sunt selectate nodurile care reprezintă puncte de start.
 - Spre exemplu în cazul mai sus prezentat, deoarece s-a ales inițial nodul a și apoi nodul e drept puncte de pornire, graful apare constituit din două componente conexe (a, b, c, d) și (e, f, g).
 - Dacă în locul nodului e , la cel de-al doilea apel se selectează nodul g apoi e , rezultă trei componente conexe (a, b, c, d), (g, f) și (e).
 - Dacă în locul nodului e , la cel de-al doilea apel se selectează nodurile f, g și e în această ordine rezultă 4 componente conexe.
 - Dacă în locul nodului e , la cel de-al doilea apel se selectează nodurile f, e și g în această ordine rezultă 3 componente conexe.
 - Dacă la primul apel, se alege nodul e drept nod de start, graful din figură conține o singură componentă conexă (fig.12.4.1.a. (c)).
 - Se putea însă alege inițial oricare alt nod drept punct de pornire a parcurgerii, iar ulterior oricare dintre nodurile rămase, fiecare situație conducând la o structură diferită de componente conexe ale grafului.
- Se poate concluziona că **numărul de componente conexe ale unui graf orientat** depinde în mod esențial de **ordinea în care sunt selectate nodurile** care reprezintă puncte de start ale componentelor.

- Această particularitate se reflectă direct în topologia **arborilor de acoperire** care rezultă în urma unor astfel de parcurgeri ale grafurilor orientate.

12.4.2. Păduri de arbori de căutare în adâncime pentru grafuri orientate

- În procesul de traversare al unui graf orientat, anumite arce conduc la noduri nevizitate.
 - Arcele care conduc la noduri nevizitate se numesc “**arce de arbore**” și ele formează un **arbore** respectiv o **pădure de arbori de căutare în adâncime** pentru graful orientat dat.
- În figura 12.4.2.a apare o astfel de **pădure de arbori de căutare în adâncime** corespunzătoare grafului orientat din fig. 12.4.1.a. (a).

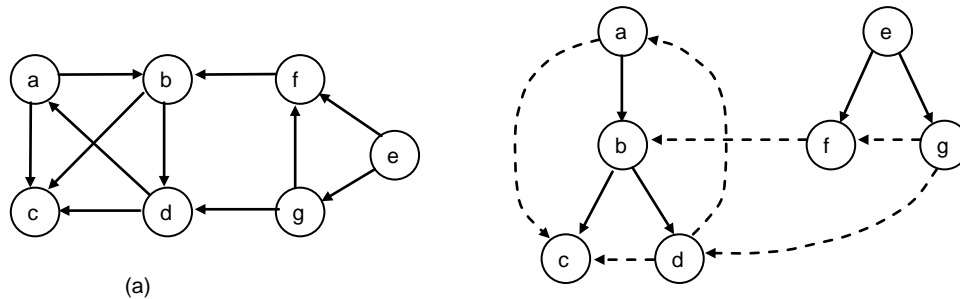


Fig.12.4.2.a. Pădure de arbori de căutare în adâncime pentru graful din fig. 12.4.1.a. (a)

- După cum se observă în această figură, în afara “**arcelor de arbore**” trasate cu linie continuă, mai apar și alte categorii specifice de arce rezultate din parcurgerea grafurilor orientate prin tehnica căutării în adâncime.
 - Este vorba despre:
 - (1) Arce de tip “**înapoi**” (“**back**”).
 - (2) Arce de tip “**înainte**” (“**forward**”).
 - (3) Arce numite de “**trecere**” (“**cross**”).
 - Toate aceste tipuri de arce apar trasate cu **linie întreruptă** în cadrul figurii.
 - Se reamintește faptul că în contextul **grafurilor neorientate** pentru **arborii de căutare în adâncime** se definesc numai două tipuri de arce: arce “**de arbore**” și arce “**de retur**”.
 - (1) În contextul **grafurilor orientate**, un arc ca și arcul (d, a) se numește **arc de tip “înapoi”** deoarece el conectează un nod cu unul din **strămoșii săi** din cadrul arborelui de căutare.
 - Se precizează faptul că un arc care conectează un nod cu el însuși este încadrat tot în această categorie.
 - (2) Un arc care conectează un nod cu unul din **descendenții săi proprii** se numește **arc de tip “înainte”**.
 - În figura 12.4.2.a un astfel de arc este (a, c) .

- (3) Un arc de tip (d, c) sau (g, d) care conectează două noduri care **nu** sunt în relație **descendent** sau **strămoș** se numește **arc “de trecere”**.
 - Se observă că toate arcele de trecere din figura 12.4.2.a sunt orientate de la dreapta la stânga, pe baza presupunerii că:
 - (a) Nodurile fii nou descoperite sunt adăugate în arborii de căutare în adâncime de la **stânga la dreapta**, în ordinea în care sunt vizitate.
 - (b) Noii arbori sunt adăugați pădurii tot de la **stânga la dreapta**.
 - Această presupunere nu este întâmplătoare și ea este legată de observația formulată în paragraful anterior relativ la dependența structurii topologice a pădurii arborilor de căutare de ordinea de vizitare a nodurilor.
- **Problema** care se pune în continuare se referă la modul în care pot fi individualizate cele patru categorii de arce.
 - În primul rând este evident faptul că arcele **“de arbore”** sunt o categorie specială de arce, ele conducând la **noduri nevizitate** din cadrul grafului, motiv pentru care pot fi depistate cu ușurință.
 - Pentru a depista celelalte categorii de arce, care toate conduc la noduri care au fost deja vizitate, este necesar a se introduce o **numerotare a nodurilor** grafului orientat în ordinea în care acestea sunt selectate în procesul de **căutare în adâncime**.
 - Aceste numere pot fi memorate într-un tablou `OrdineInAdâncime` de valori întregi, tablou care conține o locație pentru fiecare nod al grafului.
 - Tabloul poate fi completat pe baza secvenței [12.4.2.a] care se introduce după linia [1] a procedurii **CautInAdâncime** din secvența [12.4.1.a].

```
/*completare procedura CautareInAdancime*/
```

```
contor= contor+1;
OrdineInAdâncime[x]=contor;           /*[12.4.2.a]*/
```

- Se precizează faptul că această manieră de numerotare a mai fost utilizată atât pentru grafuri, cât și pentru alte structuri de date ca de exemplu arborii, ca un element care cuantizează esența procesului de traversare a unei structuri de date.
 - Se reamintește de asemenea faptul că **esența procesului de traversare** constă în **transformarea structurii** supusă traversării într-o **structură listă liniară**.
- În consecință, în timpul traversării unui graf orientat, tuturor descendenților unui nod oarecare x li se vor atribui **numere** mai mari decât lui x în tabloul `OrdineInAdâncime`.
- În acest context este valabilă următoarea teoremă: y este un **descendent** al lui x dacă și numai dacă este satisfăcută relația [12.4.2.b].

```
OrdineInAdâncime[x] ≤ OrdineInAdâncime[y] ≤ OrdineInAdâncime[x] +
“numărul de descendenți ai lui x”           [12.4.2.b]
```

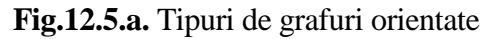
- În aceste condiții:
 - (1) Un **arc de tip “înainte”** conectează un nod cu un număr de ordine mai mic cu un nod având un număr de ordine mai mare.

- (2) Un **arc de tip “înapoi”** conectează un nod cu număr mai mare cu un nod având numărul de ordine mai mic.
 - Se face precizarea că în ambele situații, cele două noduri trebuie să fie în **relația strămoș sau descendent**, respectiv pentru ele trebuie să fie satisfăcută **relația** [12.4.2.b].
- (3) **Arcele “de trecere”** conectează noduri cu numere de ordine mai mari cu noduri cu numere mai mici, care **nu** sunt în **relația strămoș sau descendent** deci pentru care relația [12.4.2.b] **nu** este valabilă.
- Pentru a demonstra această afirmație se procedează prin **reducere la absurd**.
 - Se presupune ca (x, y) este un **arc “de trecere”** și că $\text{OrdineInAdâncime}[x] \leq \text{OrdineInAdâncime}[y]$, adică x și y sunt în relația strămoș-descendent.
 - Deoarece numărul lui x este mai mic sau egal cu al lui y , rezultă că nodul x este vizitat înaintea lui y .
 - În consecință, orice nod vizitat în timpul scurs între primul apel al procedurii **CautInAdâncime**(x) și terminarea acestui apel, este un descendent al nodului x în procesul de căutare în adâncime.
 - Nodul y se află într-o astfel de situație.
 - Dacă y este un nod nevizitat în momentul explorării arcului (x, y) , atunci arcul (x, y) este un arc **“de arbore”**.
 - Altfel, nodul y a fost cu siguranță deja vizitat anterior momentului explorării arcului (x, y) și în consecință arcul (x, y) este un arc de tip **“înainte”**.
 - Întrucât concluzia la care s-a ajuns în ambele situații contrazice ipoteza inițială, rezultă că **nu** poate exista un arc de trecere (x, y) astfel încât $\text{OrdineInAdâncime}[x] \leq \text{OrdineInAdâncime}[y]$.
- În următoarele două secțiuni, se prezintă câteva dintre modalitățile de utilizare a traversării grafurilor orientate prin tehnica căutării în adâncime la rezolvarea diverselor probleme legate de acest tip de grafuri.

12.5. Grafuri orientate aciclice

- Un **graf orientat aciclic** este un graf orientat care **nu** conține cicluri.
- Appreciate în termenii relațiilor pe care le modelează, **grafurile orientate aciclice** au un caracter de generalitate mai pronunțat decât **arborii** dar sunt mai puțin generale ca și **grafurile orientate**.
- Ca și **topologie**, astfel de grafuri pot conține multe cicluri, dacă **nu** se ia în considerare direcționarea arcelor.
 - Dacă însă se ia în considerare direcționarea arcelor un astfel de graf **nu** conține nici un ciclu.
- De fapt aceste grafuri pot fi considerate parțial **arbori**, parțial **grafuri orientate**, element care le conferă o serie de proprietăți speciale.
 - Spre exemplu, **pădurea de arbori de căutare în adâncime** asociată unui graf

- În figura 12.5.a. apare un exemplu de arbore (a), un exemplu de graf orientat aciclic (b) și un exemplu de graf orientat cu un ciclu (c).



- $$((a+b)*c+((a+b)+e)* (e+f))*((a+b)*c)$$

- Fig.12.5.b.** Graf orientat aciclic reprezentând o expresie aritmetică

- **Grafurile orientate aciclice** pot fi utilizate cu succes în modelarea **relației de ordonare parțială**.
 - Se reamintește faptul că o **relație de ordonare parțială R** pe o mulțime M , este o **relație binară** care satisface următoarele proprietăți:
 - (1) aRa este falsă pentru $\forall a \in M$ (**nereflexivitate**).
 - (2) Pentru $\forall a, b, c \in M$, dacă aRb și bRc sunt adevărate, atunci aRc este adevărată (**tranzitivitate**).
 - (3) Dacă aRb este adevărată și bRa este adevărată, atunci $a=b$ pentru $\forall a, b \in M$ (**antisimetrie**).

- Două exemple naturale de relații de ordonare parțială sunt:
 - (1) Relația “**mai mic decât**” ($<$) definită pe **mulțimea numerelor întregi**.
 - (2) Relația “**submulțime proprie a unei mulțimi**” (\subset) definită pentru **mulțimi de elemente**.
- Spre exemplu fie **mulțimea** $M = \{1, 2, 3\}$ și fie $P(M)$ **puterea mulțimii** M , adică mulțimea tuturor submulțimilor proprii ale mulțimii M .
 - În acest context $P(M) = \{\{\emptyset\}, \{1\}, \{2\}, \{3\}, \{1, 2\}, \{1, 3\}, \{2, 3\}, \{1, 2, 3\}\}$.
 - Este simplu de verificat că relația “submulțime a mulțimii M ” (\subset) este o **relație de ordonare parțială** pentru puterea mulțimii M .
- **Grafurile orientate aciclice** pot fi utilizate în **reprezentarea** unor astfel de relații.
- În acest, scop o **relație** R poate fi asimilată cu o **mulțime de perechi** (arce), care satisfac următoarea proprietate: perechea (a, b) aparține mulțimii R dacă aRb este adevărată.
- În aceste condiții, este valabilă următoarea **definiție**:
 - Dacă R este o **relație de ordonare parțială** pe o mulțime M , atunci graful $G = (M, R)$ este un **graf orientat aciclic**.
- **Reciproc**:
 - Se presupune că $G = (M, R)$ este un **graf orientat aciclic**.
 - Se presupune de asemenea că R^+ este o **relație** definită prin afirmația aR^+b este adevărată dacă și numai dacă există un drum de lungime mai mare sau egală cu 1 care conectează nodul a cu nodul b în graful G .
 - În aceste condiții, R^+ reprezintă o **relație de ordonare parțială** pe M .
 - R^+ este de fapt mulțimea relațiilor care materializează **închiderea tranzitivă** a lui R .
- În figura 12.5.c apare graful orientat aciclic $G = (P(M), R)$ unde $M = \{1, 2, 3\}$.
 - Relația R^+ se traduce prin **submulțime proprie** a puterii mulțimii M .

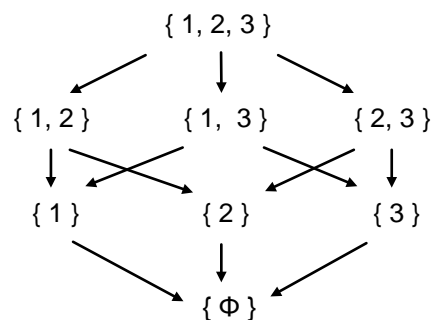


Fig.12.5.c. Graf orientat aciclic reprezentând submulțimile proprii ale unei mulțimi date

12.5.1. Determinarea aciclității unui graf orientat

- Se consideră un graf orientat $G = (N, A)$ și se cere să se stabilească dacă G este aciclic, cu alte cuvinte să se determine dacă G nu conține cicluri.
- Pentru a rezolva această problemă poate fi utilizată cu succes **tehnica căutării în adâncime**.
 - Astfel, dacă pe parcursul traversării grafului G prin **tehnica căutării în adâncime** se întâlnește cel puțin un arc de tip “înapoi”, în mod evident graful conține cel puțin un **ciclu**.
 - **Reciproc**, dacă un graf orientat conține cel puțin un **ciclu**, atunci în orice traversare a grafului prin tehnica căutării în adâncime va apare cel puțin un arc de tip “înapoi”.
- Pentru a **demonstra** acest lucru, se presupune că G este **ciclic**.
 - Realizând o traversare prin căutare în adâncime în G , va exista cu siguranță în ciclu un nod x , al cărui număr de ordine la căutarea în adâncime este mai mic decât numărul corespunzător oricărui nod aparținând ciclului.
 - Se consideră un arc (y, x) din ciclul care-l conține pe x .
 - Deoarece y este în ciclu, el trebuie să fie un **descendent** al lui x în pădurea de arbori de căutare prin cuprindere.
 - Deci (y, x) **nu** poate fi un arc de “trecere”.
 - Deoarece numărul de ordine la căutarea în adâncime a lui y este mai mare decât numărul lui x , (y, x) **nu** poate fi nici arc de tip “arbore” nici arc de tip “înainte”.
 - În consecință (y, x) **nu** poate fi decât un arc de tip “înapoi”.

12.5.2. Aplicație. Sortarea topologică

- **Sortarea topologică** a mai făcut obiectul unor prezentări pe parcursul acestei lucrări.
- În paragraful de față se prezintă o altă modalitate de soluționare a **sortării topologice** utilizând drept structuri de date suport **grafurile orientate aciclice**.
- Se reamintește faptul că un **proiect de mari dimensiuni**, este adesea divizat într-o colecție de activități (task-uri) mai mici, fiecare având un caracter mai mult sau mai puțin unitar.
 - În vederea finalizării proiectului, unele dintre activități trebuie realizate într-o anumită ordine specificată.
- Spre exemplu, o **programă universitară** poate conține o serie precizată de cursuri dintre care unele presupun în mod obligatoriu absolvirea în prealabil a altora (pre requisite).
 - O astfel de situație poate fi modelată simplu cu ajutorul **grafurilor orientate aciclice**.
 - Spre exemplu dacă cursul D este un curs care nu poate fi urmat decât după absolvirea cursului C , în graf apare un arc (C, D) .
- În figura 12.5.1.a apare un **graf orientat aciclic** care evidențiază intercondiționările de această natură impuse unui număr de 5 cursuri.

- Cursul C3 spre exemplu, presupune absolvirea în prealabil a cursurilor C1 și C2.

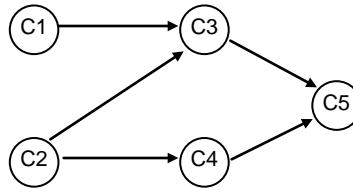


Fig.12.5.1.a. Graf orientat aciclic modelând intercondiționări

- **Sortarea topologică** realizează o astfel de **ordonare liniară** a activităților proiectului încât niciuna dintre intercondiționările impuse să **nu** fie încălcate.
 - Cu alte cuvinte, **sortarea topologică** este un **proces de ordonare liniară** a nodurilor unui **graf orientat aciclic**, astfel încât dacă există un arc de la nodul i la nodul j , atunci nodul i să apară înaintea nodului j în ordonarea liniară.
- Spre exemplu lista $C1, C2, C3, C4, C5$ reprezintă o sortare topologică a grafului din figura 12.5.1.a.
- Sortarea topologică poate fi realizată simplu pornind de la algoritmul traversării unui graf prin **tehnica căutării în adâncime**.
 - Astfel, dacă în procedura **CautInAdâncime** din secvența [12.4.1.a] se adaugă linia [5] care conține o instrucțiune de tipărire a lui x , se obține procedura **SortTopologic** care afișează nodurile grafului aciclic **sortate topologic în ordine inversă** (secvența [12.5.1.a]).
 - Acest lucru se întâmplă deoarece procedura **SortTopologic** afișează un nod oarecare x al grafului aciclic după ce a terminat explorarea (afișarea) tuturor descendenților săi.

```
PROCEDURE SortTopologic(tip_nod x);
```

```
/*Afișează nodurile accesibile pornind de la nodul x, în  
ordine topologică inversă*/
```

```
tip_nod k;
```

```
/*[12.5.1.a]*/
```

```
[1] marc[x]=vizitat;  
[2] pentru fiecare nod k din L(x)  
[3]   daca (marc[k] este nevizitat)  
[4]     SortTopologic(k);  
[5]   *scrie(x);  
/*SortTopologic*/
```

- **Precizare:** realizarea sortării topologice a unui graf orientat, este echivalentă cu realizarea unei sortări topologice de tip **SortTopologic** în graful obținut prin **inversarea sensului arcelor grafului** [Se 88].
- Este de asemenea evident faptul că, de regulă, ordonarea produsă de acest tip de sortare **nu** este unică.

- Tehnica utilizată este perfect funcțională deoarece la parcurgerea unui graf orientat aciclic **nu** apar arce de tip “înapoi”.
- Acest lucru se **demonstrează** după cum urmează:
 - Se consideră momentul la care căutarea în adâncime părăsește nodul x .
 - Toate arcele care apar în pădurea de arbori de căutare în adâncime asociată grafului și care provin din nodul x , sunt sau arce “de arbore”, sau arce de tip “înainte”, sau arce de “trecere”.
 - Toate aceste arce sunt însă direcționate spre noduri a căror vizită s-a încheiat și în consecință, evidențierea lor precede evidențierea lui x în cadrul ordinii care se construiește.

12.6. Componente puternic conectate

- O **componentă puternic conectată** a unui **graf orientat** este o submulțime de noduri ale grafului în care există un drum de la **oricare** nod al mulțimii la **oricare** alt nod aparținând aceleiași mulțimi.
- Fie $G = (N, A)$ un **graf orientat**.
- Se partiționează mulțimea N a nodurilor grafului G în **clase de echivalență** $N_i, (1 \leq i \leq r)$, pe baza următoarei **definiții a relației de echivalență**:
 - Nodurile x și y sunt **echivalente** dacă și numai dacă există un drum de la nodul x la nodul y și un drum de la nodul y la nodul x .
- Fie $A_i, (1 \leq i \leq r)$ mulțimea arcelor ale căror surse și destinații aparțin mulțimii N_i .
- Grafurile $G_i = (N_i, A_i)$ se numesc **componentele puternic conectate** ale grafului G , sau mai simplu **componente puternice**.
- Un **graf orientat** care constă dintr-o singură componentă puternică se numește **puternic conectat**.
- În figura 12.6.a apare un graf orientat (a), care conține două componente puternice (b).

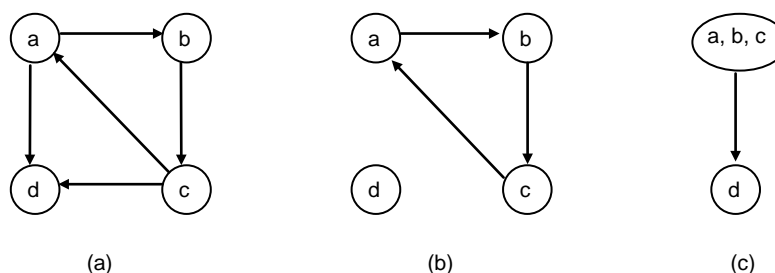


Fig.12.6.a. Componente puternic conectate și graful redus al unui graf orientat

- Se face precizarea că fiecare **nod** al unui graf orientat aparține unei **componente puternice** dar există **arce** care **nu** aparțin nici unei componente.
 - Astfel de arce se numesc **arce de “transfer”** și ele conectează noduri aparținând la **componente puternice** diferite.

- Considerând **componentele puternice** drept **noduri** și reprezentând interconexiunile dintre componentele puternice ale unui graf G , respectiv reprezentând **arcele de transfer**, se obține **graful redus** al grafului G .
 - Nodurile **grafului redus** sunt **componentele puternice** ale grafului original.
 - În **graful redus** apare un arc de la componenta puternică C_i la componenta puternică C_j dacă în graful original G există un arc ce leagă un nod aparținând lui C_i cu un nod aparținând lui C_j .
 - **Graful redus** este întotdeauna un **graf orientat aciclic**, deoarece dacă ar conține vreun ciclu, atunci toate componentele din acel ciclu aparțin unei aceleiași componente puternic conectate, element ce ar evidenția faptul că determinarea componentelor puternice pentru graful original s-a realizat defectuos.
- În figura 12.6.1. (c) apare graful redus al grafului orientat din fig. 12.6.1. (a).
- În continuare se vor prezenta doi algoritmi pentru determinarea **componentelor puternic conectate ale unui graf orientat**, ambii bazați pe **tehnica căutării în adâncime**.

12.6.1. Algoritmul lui Kosaraju-Sharir

- Algoritmul pentru determinarea **componentelor puternic conectate** ale unui **graf orientat** G a fost sugerat în anul 1978 de R.Kosaraju (nepublicat) și publicat în anul 1981 de către Sharir, motiv pentru care a fost denumit **algoritmul Kosaraju-Sharir**.
- **Algoritmul Kosaraju-Sharir** constă din următorii pași:
 - (1) Se realizează o **traversare prin căutare în adâncime** a grafului G și se **numerează nodurile** în ordinea terminării apelurilor recursive corespunzătoare lor.
 - Acest lucru se poate realiza, spre exemplu, numerotând nodul x după linia [5] a procedurii **CautInAdancime** din secvența [12.4.1.a].
 - (2) Se construiește un nou **graf orientat** G_r , **inversând sensul** tuturor arcelor grafului original G .
 - (3) Se realizează o **traversare prin căutare în adâncime** în graful G_r , începând cu **nodul** care are **numărul cel mai mare** conform numerotării de la pasul 1.
 - (4) Dacă această traversare **nu** acoperă toate nodurile, se lansează următoarea traversare începând cu **nodul** care are **numărul cel mai mare** dintre nodurile neparcuse încă.
 - (5) Se continuă în aceeași manieră până la epuizarea tuturor nodurilor.
- Fiecare **arbore de căutare în adâncime** al **pădurii** care rezultă, este o **componentă puternic conectată** a grafului G .
- În figura 12.6.1.a este ilustrată aplicarea algoritmului Kosaraju-Sharir asupra grafului orientat (a).

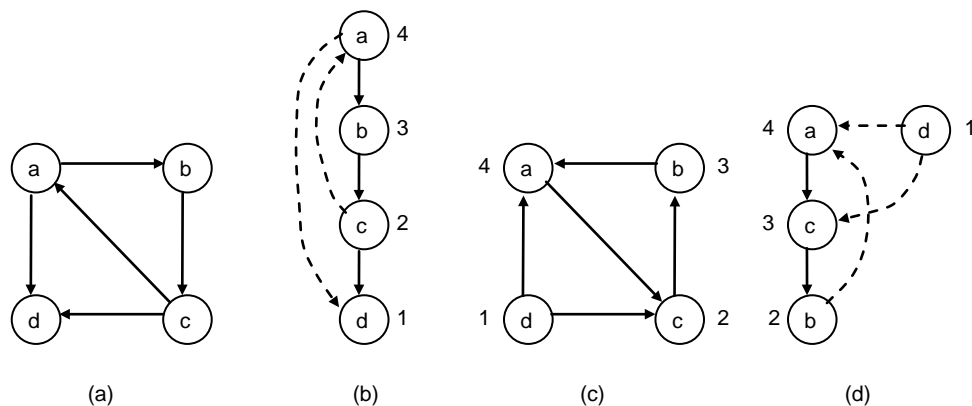


Fig.12.6.1.a. Determinarea componentelor puternic conectate ale unui graf orientat

- Astfel, după traversarea grafului începând cu nodul a și continuând cu b , se obține arborele de căutare în adâncime și numerotarea nodurilor din fig. 12.6.1.a. (b).
- Inversând sensurile arcelor grafului original, rezultă graful G_r (fig.12.6.1.a. (c)).
- În continuare, realizând o traversare prin căutare în adâncime a lui G_r rezultă pădurea din aceeași figură (d).
- Într-adevăr, traversarea începe cu nodul a , considerat că rădăcină, deoarece a are cel mai mare număr.
 - Din a se ajunge la nodul c și la nodul b .
 - Următorul arbore de căutare în adâncime are rădăcina d , deoarece d este nodul cu numărul cel mai mare dintre cele rămase neparcuse.
- Fiecare arbore al acestei păduri formează o **componentă puternic conectată** a grafului orientat original G .
- S-a afirmat că nodurile unei componente puternic conectate a unui graf, corespund exact nodurilor unui arbore al pădurii arborilor de acoperire rezultate în urma celei de-a doua traversări a grafului, respectiv a traversării grafului inversat.
- Pentru a **demonstra** acest lucru se pornește de la următoarea observație:
 - Dacă x și y sunt noduri aparținând unei aceleiași componente puternice, atunci în G există un drum de la x la y și un drum de la y la x .
 - În consecință și în graful inversat G_r există un drum de la x la y și un drum de la y la x .
- Se presupune că în traversarea lui G_r , căutarea începe cu o rădăcină r și că se ajunge la x sau y .
 - Deoarece x și y sunt conectați în ambele sensuri, atât x cât și y vor aparține arborelui de căutare în adâncime cu rădăcina r .
- Presupunând în continuare că x și y aparțin unui aceluiași arbore de căutare în adâncime derivat din G_r , trebuie demonstrat că cele două noduri aparțin și aceleiași componente puternic conectate.
 - Fie r rădăcina arborelui de căutare în adâncime în G_r care-i conține pe x și pe y .
 - Deoarece x este un descendent al lui r , rezultă că în G_r există un drum de la r la

x. În consecință în G există un drum de la x la r.

- Trebuie demonstrat în continuare că în G există și un drum de la r la x.
- În construcția pădurii de căutare în adâncime corespunzătoare lui Gr, nodul x era nevizitat în momentul în care se iniția căutarea pentru r.
 - Acest lucru este motivat de faptul că r are un număr mai mare ca și x, deoarece în căutarea în adâncime a lui G apelul recursiv al lui x se termină înaintea apelului recursiv a lui r.
- Se pune următoarea întrebare: "Ar fi putut, în căutarea în adâncime a lui G ca vizitarea nodului x să fie demarată înainte de vizitarea nodului r?"
 - Acest lucru este imposibil întrucât existența drumului în G de la x la r presupus anterior, ar implica faptul că vizitarea lui r să înceapă și să se termine înaintea terminării vizitării lui x.
- În concluzie, în traversarea lui G, x este vizitat în timpul căutării lui r, astfel x este un descendent al lui r în arborele de căutare în adâncime al lui G.
 - Deci există un drum de la r la x în G și în consecință nodurile x și r aparțin unei aceleiași componente puternic conectate a grafului G.
- Printr-o argumentare identică se demonstrează că și r și y aparțin unei aceleiași componente puternic conectate.
 - Faptul că în ambele situații este vorba de una și aceeași componentă este certificat de existența drumului $x \rightarrow r \rightarrow y$, respectiv de existența drumului $y \rightarrow r \rightarrow x$ [AH 85].

12.6.2. Algoritmul lui Tarjan

- O altă metodă ingenioasă de determinare a **componentelor puternic conectate** ale unui graf orientat a fost publicată de R.E. Tarjan în anul 1972.
- Metoda se bazează tot pe **tehnica căutării în adâncime** și o variantă de implementare a sa apare în secvența [12.6.2.a] în forma funcției **Tarjan**.
- În legătură cu această secvență se fac câteva precizări.
- (1) Graful se consideră reprezentat printr-o **structură de adiacențe** implementată cu ajutorul listelor înlănțuite simple.
- (2) Funcția **Tarjan** prezentată, utilizează variabila min pentru a determina **cel mai înalt nod** care poate fi atins prin intermediul unui arc de tip "înapoi", pentru orice descendent al nodului k pe care îl primește ca și parametru.
 - Acest lucru este realizat într-o manieră similară funcției care determină **componentele biconexe** ale unui graf (secvența [10.5.2.3.a], capitolul 10).

int **Tarjan**(int k)

/*Determinarea componentelor puternice ale unui graf*/

```
tip_legatura t;  
int m,min;
```



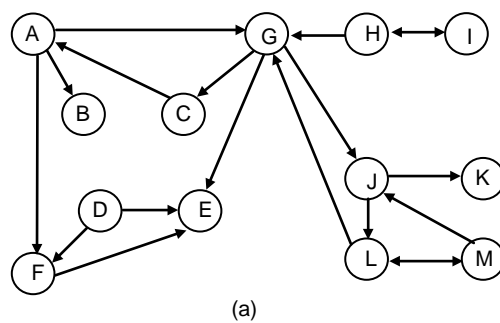
```

id=id+1; marc[k]=id; min=id; /*marcare nod k*/
Stiva[p]=k; /*introducere nod k în stiva*/
p=p+1; /*avans indicator stiva*/
t=Stradj[k]; /*inițiere parcurgere lista de adiacențe*/
cat timp (t<>NULL)
|   daca (marc[t^.nume]==0)
|       m=Tarjan(t^.nume);
|       altfel
|           m=marc[t^.nume];           /*[12.6.2.a]*/
|   daca (m<min)
|       min=m;
|   t=t^.urm;
|   □ /*cat timp*/
daca (min==marc[k]) /*evidențiere componentă puternică*/
|   repetă
|       p=p-1;
|       *scrie(Stiva[p]);
|       marc[Stiva[p]]=N+1; /*N este numărul de noduri*/
|       pana cand (Stiva[p]==k);
|       □ /*repetă*/
|   *scrie_rand;
|   □ /*daca*/
return min;
/*Tarjan*/

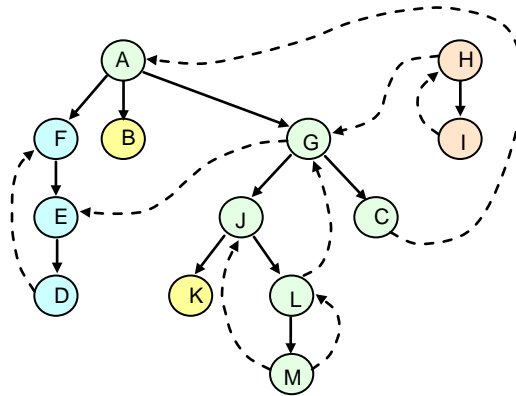
```

- În plus însă, valoarea min determinată, este utilizată și la evidențierea **componentelor puternic conectate**.
- În acest scop se utilizează o **stivă** implementată ca un tablou Stiva controlată de indicele p.
 - În această stivă se introduc numele (numerele) nodurilor pentru care este apelată funcția **Tarjan** imediat după intrarea în apel.
 - Nodurile care aparțin unei componente puternice, sunt afișate prin extragere din stivă, după vizitarea ultimului membru al componenteii puternic conectate (bucla **repetă**).
- **Elementul esențial** al determinării este verificarea $min=marc[k]$ efectuată la terminarea apelurilor recursive:
 - Dacă acest test conduce la valoarea de adevăr, se afișează toate nodurile din stivă până la nodul k inclusiv, întrucât ele aparțin aceleiași componente puternic conectate ca și nodul k.
- Acest algoritm poate fi însă adaptat să realizeze prelucrări mult mai sofisticate decât simpla afișare a componentelor puternic conectate.
- Fiind bazat pe tehnica căutării în adâncime, în grafuri reprezentate prin structuri de adiacențe, algoritmul lui Tarjan obține o **performanță** de ordinul $O(n+a)$.
- Demonstrația riguroasă a funcționalității algoritmului este în afara scopului cursului, însă vor fi schițate ideile care o fundamentează.
- **Metoda lui Tarjan** se bazează pe **două observații** care au fost subliniate și cu alte prilejuri.

- (1) Prima observație se referă la faptul că la terminarea apelului funcției **Tarjan** pentru un nod x , **nu** mai pot fi întâlnite alte noduri care să aparțină aceleiași componente puternic conectate ca și nodul respectiv deoarece toate nodurile la care se poate ajunge plecând de la x au fost deja parcurse.
- (2) A doua observație se referă la faptul că un arc de tip “înapoi” al arborelui de căutare în adâncime precizează un alt drum de la un nod la altul în cadrul arborelui și el de fapt leagă elementele componente puternice.
- Exact ca și în cazul determinării **punctelor de articulație** ale unui graf și în acest caz se păstrează urma **celui mai înalt ascendent**, la care se poate ajunge via un arc de tip “înapoi”, pentru toți descendenții fiecărui nod.
- **Interpretarea rezultatului** algoritmului lui **Tarjan** este următoarea.
 - (1) Un nod x care nu are descendenți sau legături de tip înapoi în arborele de căutare în adâncime, determină o **componentă puternic conectată**.
 - (2) Dacă un nod x are **un descendent** în arborele de căutare în adâncime din care pornește un arc de tip “înapoi” spre x și nu are niciun descendent din care să pornească vreun arc de tip “înapoi” spre vreun nod situat **deasupra** lui x în arborele de căutare în adâncime, atunci nodul x împreună cu toți descendenții săi (cu excepția acelor noduri care satisfac situația (1), respectiv a nodurilor care satisfac situația (2) și a descendenților lor), determină o **componentă puternic conectată**.
 - (3) Fiecare descendent y al nodului x care nu satisface nici una din cele două situații mai sus precizate, are descendenți care sunt sursa unor arce de tip “înapoi” care ajung la noduri mai înalte ca x în arborele de căutare în adâncime.
 - Pentru un astfel de nod, există un drum direct de la x la y rezultat din parcurgerea arborelui de căutare în adâncime.
 - Mai există însă un drum de la nodul y la nodul x care poate fi determinat coborând în arbore de la y în jos până la nodul descendent de la care printr-un arc de tip “înapoi” se ajunge la un strămoș al lui y și apoi continuând în aceeași manieră, se ajunge până la x .
 - Rezultă că nodul y aparține aceleiași **componente puternic conectate** ca și nodul x .
- Aceste situații pot fi urmărite în figura 12.6.2.a care reprezintă **pădurea de arbori de căutare în adâncime** (b) corespunzătoare grafului orientat (a).
 - Nodurile B și K satisfac prima situație, astfel încât se constituie ele însele în componente puternice ale grafului.
 - Nodurile F (reprezentând pe F, E și D), H (reprezentând pe H și I) și A (reprezentând pe A, G, J, L, M și C) satisfac a doua situație.
 - Membrii componente evidențiate de A au fost determinați după eliminarea nodurilor B, K, F și H și a descendenților lor care apar în componentele puternice stabilite anterior.
 - Restul nodurilor se încadrează în situația a treia.



(a)



(b)

Fig.12.6.2.a. Graf orientat (a) și pădure de arbori de căutare în adâncime asociată (b)

- O subliniere foarte importantă este aceea ca odată un nod parcurs, el primește în tabloul `marc` o valoare mare ($N+1$), astfel încât arcele de “trecere” spre aceste noduri sunt ignorate.

12.7. Rețele de curgere ("Network-Flow")

- Grafurile orientate ponderate sunt modele foarte utile pentru anumite tipuri de aplicații inclusiv pentru **modelarea fluxului materialelor** în cadrul unei **rețele interconectate**.
- Se poate considera spre exemplu o **rețea de conducte de petrol** de diferite dimensiuni interconectate într-o manieră complexă, cu comutatoare controlând direcția fluxului pe joncțiuni.
 - Se presupune în continuare că o astfel de rețea are o singură sursă (un câmp petrolier) și o singură destinație (o mare rafinărie) la care în final sunt conectate toate conductele.
- Întrebarea care se pune este următoarea: “Ce configurație de poziționare a comutatoarelor de control conduce la un **flux maxim** de la sursă la destinație?”.
- Interacțiunile complexe care se manifestă la nivelul joncțiunilor fac ca **problema rețelilor de curgere** (“**network flow problem**”) să **nu** fie una simplu soluționabilă.
- Astfel de rețele sunt cunoscute și sub denumirea de **rețele de transport** [FK 69].
- Același scenariu general, poate fi utilizat la:

- (1) Modelarea traficului rutier de-a lungul autostrăzilor unei rețele de drumuri
- (2) Modelarea fluxului materialelor într-o întreprindere
- (3) Modelarea fluxului datelor în rețelele de comunicații.
- Pentru rezolvarea acestei probleme au fost propuse mai multe soluții, care sunt mai mult sau mai puțin satisfăcătoare funcție de circumstanțe.
 - De fapt, această problemă este încă intens studiată și soluția cea mai bună nu a fost încă determinată.
- În cadrul capitolului de față se prezintă o soluție clasică a problemei rețelelor de curgere, strâns legată de algoritmii referitori la structura de date graf, dezvoltată în cadrul capitolelor anterioare.
 - În același timp acesta este un exemplu de rezolvare a unei probleme utilizând unelte algoritmice deja consacrate.

12.7.1. Problema rețelelor de curgere

- În fig. 12.7.1.a apare o reprezentare idealizată a unei mici rețele de conducte de petrol.

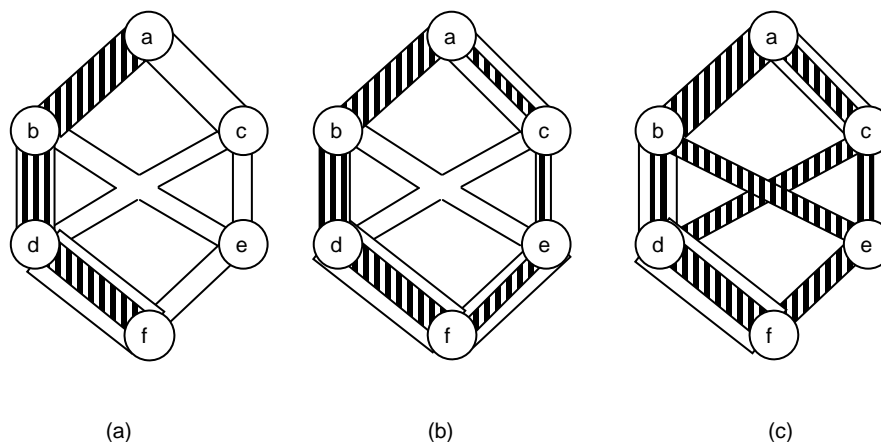
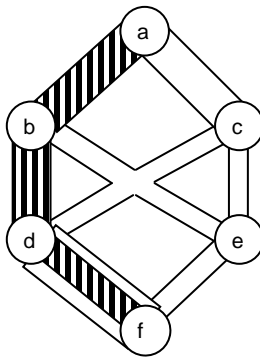


Fig.12.7.1.a. Diverse fluxuri printr-o rețea de curgere simplă

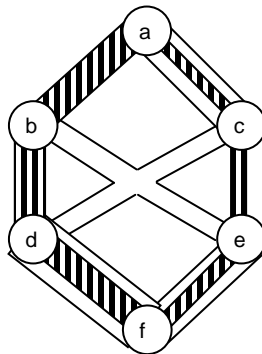
- Se fac următoarele specificații:
 - (1) Conductele sunt de **capacitate fixă**, proporțională cu grosimea lor și pot fi parcurse într-un singur sens (în figură de sus în jos).
 - (2) Comutatoarele distribuitoare situate la fiecare joncțiune dirijează **cantitatea de petrol** care se scurge pe fiecare dintre direcțiile posibile.
 - (3) Indiferent de poziționarea comutatoarelor, sistemul se găsește într-o **stare de echilibru** atunci când:
 - (3.1) Cantitatea de petrol care intră în sistem la partea sa superioară,

este egală cu cantitatea de petrol care părăsește sistemul la partea sa inferioară. Aceasta este cantitatea pentru care trebuie determinată **valoarea maximă**.

- (3.2) Cantitatea de petrol care intră în fiecare joncțiune este egală cu cantitatea care iese din joncțiune.
- (4) Atât fluxul curent prin conductă, cât și capacitatea sa maximă vor fi exprimate în valori întregi, spre exemplu litri pe secundă.
- La prima vedere **nu** pare evident faptul că poziționarea comutatoarelor afectează fluxul maxim.
- În figura 12.7.1.a se demonstrează că acest lucru este posibil.
- În situația (a), comutatoarele care controlează conductele ab și bd sunt deschise integral, astfel încât acestea funcționează la capacitatea maximă iar conducta df numai parțial.

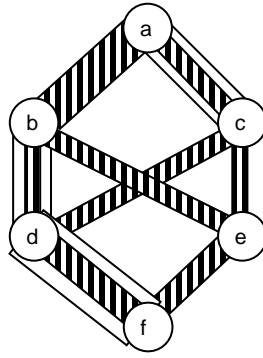


- În situația (b) se deschid în plus conducta ac (parțial), ce (total) și ef (parțial).
- Fluxul prin rețea este mai mare acum întrucât atât conducta bd cât și conducta ce funcționează la capacitatea maximă.
- Acest flux ar putea fi mărit deschizând traseul acdf astfel încât conducta df să funcționeze și ea la capacitatea maximă.



- După cum se vede însă din situația (c) există o soluție și mai bună.

- Modificând comutatorul b și permițând în acest mod curgerea petrolului prin conducta be la capacitatea maximă a acesteia, se crează posibilitatea utilizării la capacitate maximă și a conductei cd.



- Ca atare, după cum se observă, poziționarea comutatoarelor distribuitoare influențează în mod evident fluxul total prin rețea.
- **Problema rețelelor de curgere** constă în a determina acea poziționare a comutatoarelor pentru orice rețea de acest tip, care conduce la **fluxul maxim**.
 - De asemenea trebuie dovedit faptul că nici o altă poziționare **nu** poate obține un flux mai mare.
- Această situație poate fi în mod evident modelată printr-un **graf orientat**.
- Astfel, o **rețea de curgere** se definește ca și un **graf orientat ponderat** a cărui mulțime a nodurilor conține în afara celor normale, două noduri speciale:
 - (1) Un nod sursă în care **nu** intră nici un arc
 - (2) Un nod destinație din care **nu** pleacă nici un arc.
- Ponderile arcelor se numesc **capacități** și se presupun pozitive.
- **Fluxurile** (debitele) sunt definite printr-un alt set de ponderi asociate fiecărui arc.
 - Aceste ponderi sunt supuse la două restricții:
 - (1) Fluxul într-un arc este mai mic sau cel mult egal cu capacitatea arcului respectiv
 - (2) Fluxul la intrare în oricare nod este egal cu fluxul de la ieșirea nodului respectiv.
 - Valoarea **fluxului rețelei** este fluxul din nodul sursă sau nodul destinație al rețelei.
- **Problema rețelelor de curgere** constă în determinarea **valorii maxime** a fluxului rețelei.
- Fiind modelate prin grafuri, rețelele pot fi reprezentate fie prin intermediul matricilor de adiacențe fie prin intermediul structurilor de adiacențe.

- În plus însă, în locul unei singure ponderi fiecărui arc îi sunt asociate **două ponderi** respectiv **capacitatea** și **fluxul**.
- Această cerință poate fi rezolvată prin definirea a **două câmpuri specifice** în structura nodului unei liste de adiacențe, sau prin utilizare a **două matrici** în reprezentarea bazată pe matrici de adiacențe.
- De asemenea în ambele reprezentări poate fi utilizată ca și alternativă o structură de tip articol cu două câmpuri corespunzătoare celor două ponderi.
- Chiar dacă rețelele sunt de fapt grafuri orientate, algoritmul care rezolvă problema rețelelor de curgere necesită traversarea grafului și în sens invers sensului arcelor, motiv pentru care în reprezentare se va utiliza un **graf neorientat**.
 - Astfel, pentru fiecare arc de la x la y aparținând rețelei, cu capacitatea c și fluxul f , se va păstra și imaginea arcului de la y la x având asociate ponderile $-c$ și $-f$.
 - În acest context, în reprezentarea bazată pe **structuri de adiacențe**, este necesar să fie prevăzute legături care conectează nodurile aparținând celor două liste de adiacențe care reprezintă același arc, astfel încât modificarea fluxului într-una dintre reprezentări să poată fi imediat actualizată și în cealaltă.

12.7.2 Metoda Ford-Fulkerson

- Metoda clasică de rezolvare a problemei rețelelor de curgere a fost dezvoltată de către L.R.Ford și D.R.Fulkerson în anul 1962.
 - Ei au furnizat o metodă care îmbunătățește orice flux legal prin rețea, evident cu excepția celui maxim.
- Practic se pornește de la **valoarea zero a fluxului** și se aplică metoda în mod repetat.
 - Atâta vreme cât metoda poate fi aplicată, ea conduce la obținerea unor fluxuri crescătoare, iar când nu mai poate fi aplicată s-a obținut fluxul maxim.
- De fapt fluxul maxim din figura 12.7.1.a a fost obținut aplicând această metodă.
- În continuare se reexaminează aceeași situație în termenii grafurilor reprezentate în figura 12.7.2.a.
 - Pentru fiecare arc al grafului se indică într-o **elipsă** ponderile asociate în formatul **flux/capacitate** (f / c).
 - Pentru simplificare, săgețile arcelor au fost omise, considerându-se că toate indică sensul “în jos”.

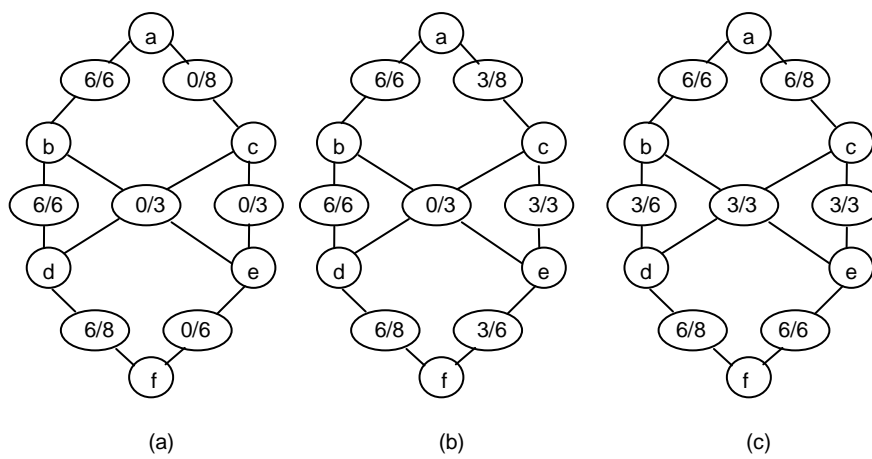
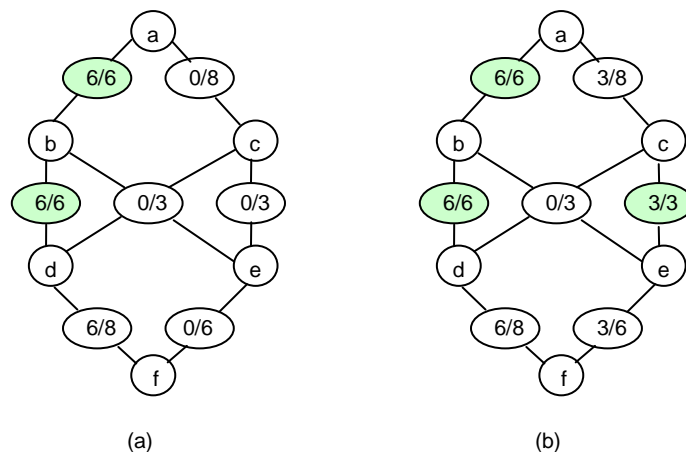


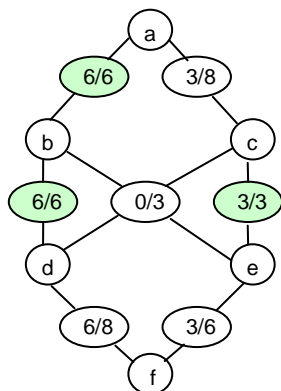
Fig.12.7.2.a. Determinarea fluxului maxim într-o rețea de curgere

- Se face însă precizarea că aplicabilitatea metodei care va fi dezvoltată în continuare **nu** este restrânsă numai la grafuri în care toate săgețile indică aceeași direcție.
 - Pentru prezentarea metodei însă, s-a adoptat o astfel de soluție deoarece aceasta este foarte intuitivă.
 - Cu această simplificare, practic fluxul într-o rețea de curgere poate fi exprimat natural în termenii unui lichid care străbate conductele rețelei.
- Se consideră **orice drum orientat** "în jos" prin rețea de la sursă la destinație.
 - Este evident faptul că pe orice drum fluxul poate fi crescut până la **capacitatea maximă a celei mai înguste conducte de pe traseu**, ajustând în mod corespunzător fluxul în toate arcele care compun drumul.
 - În figura 12.7.2.a a fost aplicată această regulă de-a lungul drumului abdf (situația (a)), respectiv și de-a lungul drumului acef (situația (b)).

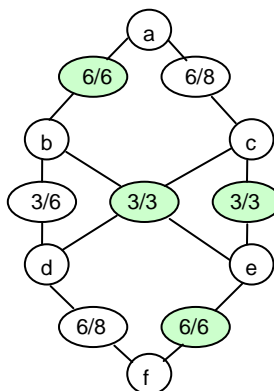


- În continuare, regula poate fi aplicată și altor drumuri, creând spre exemplu situația în care toate drumurile orientate din rețea au cel puțin un arc care funcționează la capacitatea maximă.
- Există însă și **o altă metodă** de creștere a fluxului.

- Se consideră **drumuri arbitrare** prin rețea care pot conține și arce orientate în sens invers (respectiv de la destinație spre sursă).
- Fluxul poate fi crescut de-a lungul unui astfel de drum, crescând fluxul în arcele care au sensul de la sursă spre destinație și diminuând cu aceeași valoare, fluxul în arcele direcționate în sens invers.
- Spre exemplu, după cum se observă în figura 12.7.2.a (c), fluxul prin rețea poate fi crescut cu 3 unități de-a lungul drumului $acdbef$ față de situația (b).



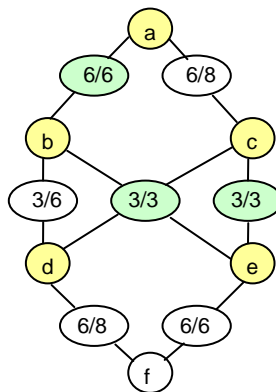
(b)



(c)

- Aceasta rezultă din suplimentarea fluxului prin ac și cd cu câte 3 unități la fiecare și prin reducerea fluxului cu 3 unități prin bd cu redirectarea acestuia pe traseul be și ef .
- De fapt nu se pierde din fluxul de pe ramura df întrucât cele 3 unități care vedeau dinspre bd vin acum pe ramura cd .
- Pentru a simplifica terminologia:
 - Arcele direcționate de la **sursă** spre **destinație** se numesc arce de tip “**înainte**”.
 - Arcele orientate de la **destinație** spre **sursă** se numesc arce de tip “**înapoi**”.
- Este important de subliniat faptul că valoarea cu care poate fi crescut fluxul este limitată de
 - (1) **Minimul** dintre capacitățile neutilizate ale arcelor de tip “înainte”
 - (2) **Minimul** fluxurilor în arcele de tip “înapoi” de pe traseu.
 - Cu alte cuvinte, în noul flux, cel puțin unul din arcele de tip înainte situate pe traseu funcționează la capacitatea maximă sau cel puțin unul dintre arcele de tip “înapoi” situat de-a lungul traseului devine gol.
 - Ca atare fluxul **nu** mai poate fi crescut de-a lungul unui traseu care conține un arc “înainte” plin sau un arc “înapoi” gol.

- Observațiile formulate mai sus sugerează **principiul metodei** de creștere a fluxului într-o rețea de curgere.
 - Acesta se referă la determinarea acelor drumuri care conțin arce “înainte” care **nu** sunt pline sau arce “înapoi” care **nu** sunt goale.
- **Elementul fundamental al metodei Ford-Fulkerson** constă în observația că dacă **fluxul în rețea este maxim**, în rețea **nu** există nici un astfel de drum.
 - Cu alte cuvinte, dacă **orice drum** de la sursă la destinație dintr-o rețea, conține un arc “înainte” plin sau un arc “înapoi” gol, atunci **fluxul în rețea este maxim**.
- Pentru a demonstra acest fapt, în primul rând, se inspectează graful și se determină **primul arc** “înainte” plin sau **primul arc** “înapoi” gol pe fiecare drum.
 - Mulțimea arcelor astfel determinate **taie** graful în două părți.
 - Spre exemplu din figura 12.7.2.a (c) arcele ab , cd și ce realizează această tăietură.



(c)

- Pentru orice tăietură a rețelei se poate determina fluxul prin tăietură.
 - Acesta este de fapt **fluxul total** prin arcele tăieturii care merg de la sursă spre destinație.
 - În general, arcele pot traversa în ambele sensuri tăietura.
 - Pentru determinarea efectivă a fluxului se adună fluxurile care trec spre destinație și se scad fluxurile din arcele care traversează în sens invers tăietura.
 - În cazul prezentat, fluxul prin tăietură are valoarea 12 și este egal cu fluxul prin rețea.
- Rezultă că, ori de câte ori fluxul prin tăietură egalează fluxul total, pe de o parte fluxul este **maxim** iar pe de altă parte tăietura este **minimă**, ceea ce înseamnă că orice altă tăietură are fluxul cel puțin la fel de mare.
 - Aceasta este teorema “**flux maxim – tăietură minimă**” numită și **teorema lui Ford-Fulkerson**.

- Obs: Prin **tăietură minimă** se înțelege capacitate neutilizată minimă.
- Drept urmare:
 - (1) Fluxul nu poate fi oricât de mare - altfel tăietura ar putea fi și ea mai mică.
 - (2) Nu există tăieturi mai mici - altfel și fluxul ar putea de asemenea să aibă valori mai mari [Se 88].
- **Teorema Ford-Fulkerson** se mai poate enunța și în următoarea formă:
 - Într-o rețea de curgere dată, **valoarea maximă** a unui **flux** este egală cu **capacitatea minimă** a unei **tăieturi** [FK 69].

12.7.3. Implementarea metodei Ford-Fulkerson. Căutarea în rețea

- Metoda Ford-Fulkerson descrisă anterior poate fi rezumată după cum urmează:
 - (1) Se pornește cu flux zero peste tot și se crește fluxul de-a lungul oricărui drum de la sursă la destinație care **nu** conține **arce înainte pline** sau **arce înapoi goale**.
 - (2) Operațiunea continuă până când **nu** mai există nici un astfel de drum în rețea.
- După cum se observă însă acesta **nu** este un algoritm în sensul strict al cuvântului deoarece metoda de determinare a drumurilor **nu** este specificată, practic putând fi selectată orice succesiune de drumuri.
 - Spre exemplu la baza selecției ar putea sta observația că cu cât drumul este mai lung, cu atât rețeaua va fi mai repede umplută, astfel încât sunt de preferat drumurile cele mai lungi.
 - Indiferent însă de strategia abordată, maniera de selectare a drumurilor are o influență decisivă asupra performanței metodei.
- În anul 1972 **Edmonds și Karp** au demonstrat următoarea **proprietate**.
 - Dacă în metoda Ford-Fulkerson se utilizează **cel mai scurt drum curent disponibil** de la sursă la destinație, atunci numărul de pași necesari determinării fluxului maxim într-o rețea cu n noduri și a arce este mai mic decât produsul na .
 - Demonstrația acestei proprietăți depășește scopul cursului de față.
- În consecință, o posibilitate de a aborda rezolvarea acestei probleme o reprezintă utilizarea **tehnicii de căutare “prin cuprindere”** pentru găsirea **drumurilor minime**.
- Proprietatea anterior enunțată precizează o margine superioară pentru performanța acestui algoritm.
 - În realitate, pentru rețelele obișnuite sunt necesari mult mai puțini pași.
- Pornind însă de la traversarea grafurilor prin **tehnica căutării bazate pe prioritate**

abordată în capitolul anterior se poate implementa și o altă metodă sugerată tot de Edmonds și Karp și anume:

- Găsirea acelui drum din rețea care determină creșterea fluxului cu cea mai mare valoare posibilă.
- Aceast obiectiv poate fi atins simplu utilizând pentru **prioritate**, în cadrul metodei dezvoltate în secvența [11.4.a] din capitolul 11, o valoare corespunzătoare.

```
-----  
PROCEDURE CautPrioritar;  
VAR k,min,t: integer;  
  
BEGIN  
  FOR k:= 1 TO N DO  
    BEGIN  
      marc[k]:= -nevazut; [11.4.a]  
      parinte[k]:= 0  
    END;  
  marc[0]:= -(nevazut + 1);  
  min:= 1;  
  REPEAT  
    k:= min; marc[k]:= -marc[k]; min:= 0;  
    IF marc[k] = nevazut THEN marc[k]:= 0;  
    FOR t:= 1 TO N DO  
      IF marc[t] < 0 THEN  
        BEGIN  
          IF (A[k,t] <> 0) AND (marc[t] < -prioritate) THEN  
            BEGIN  
              marc[t]:= -prioritate;  
              parinte[t]:= k  
            END;  
          IF marc[t] > marc[min] THEN min:= t  
        END  
      UNTIL min = 0  
    END; {CautPrioritar}  
-----
```

- Spre exemplu, pentru grafurile reprezentate prin matrice de adiacențe, **determinarea valorii priorității** se face pe baza următorului calcul [12.7.3.a]:

```
-----  
IF capacitate[k,t] > 0 THEN  
  prioritate:= capacitate[k,t] - flux[k,t];  
ELSE [12.7.3.a]  
  prioritate:= -flux[k,t];  
IF prioritate > marc[k] THEN prioritate:= marc[k];  
-----
```

- În continuare, pentru a adapta procedura CautPrioritar din secvența [11.4.a] noului scop, trebuiesc operate unele modificări.
 - (1) Deoarece se dorește selecția nodului cu cea mai mare prioritate, este necesară:
 - (a) Fie modificarea mecanismului cozii bazate pe prioritate astfel încât

acesta să returneze maximul în locul minimului

- (b) Fie utilizarea pentru prioritate a expresiei $\text{maxint}-1-\text{prioritate}$ (maxint fiind întregul maxim reprezentabil).
- (2) Este necesar a fi modificată procedura de căutare bazată pe prioritate astfel încât să primească drept date de intrare nodul sursă și nodul destinație.
 - În acest fel orice căutare pornește de la nodul sursă și se termină când se determină un drum până la nodul destinație.
 - Dacă **nu** se găsește un astfel de drum, arborele de căutare parțial care a fost determinat definește o **tăietură minimă** pentru rețea.
 - Dacă se găsește un astfel de drum, atunci fluxul prin rețea poate fi crescut în continuare.
- (3) Valoarea inițială din tabloul `marc` corespunzător nodului sursă trebuie poziționată pe `maxint` pentru a preciza faptul că practic de la sursă se poate obține orice flux.
 - În realitate această valoare este imediat restrânsă la capacitatea maximă a tuturor conductelor care părăsesc sursa.
- Implementând în procedura `CautPrioritar` (secvența [11.4.a]), modificările descrise anterior, determinarea fluxului maxim poate fi realizată conform secvenței [12.7.3.b].

REPEAT

`CautPrioritar(1,N);`

`y:= N; x:= parinte[N];`

WHILE `x <> 0` **DO**

BEGIN

[12.7.3.b]

`flux[x,y]:= flux[x,y] + marc[N];`

`flux[y,x]:= -flux[x,y];`

`y:= x; x:= parinte[y]`

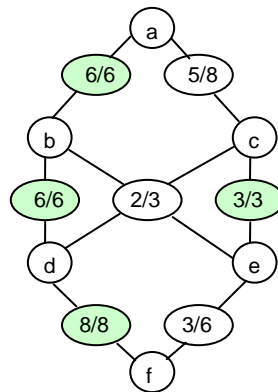
END

UNTIL `marc[N] = 1 - maxint;`

- În cadrul secvenței se presupune că rețeaua este reprezentată printr-o **matrice de adiacențe**.
 - Atâta vreme cât `CautPrioritar` poate determina un drum care crește fluxul cu cantitatea maximă posibilă, se revine de-a lungul drumului utilizând tabloul `parinte` construit de procedura `CautPrioritar` și se crește fluxul după cum rezultă din secvența [12.7.3.b], bucla **WHILE**.
 - Dacă `N` (nodul destinație) nu poate fi atins după câteva apeluri ale procedurii `CautPrioritar`, atunci s-a determinat o tăietură minimă și algoritmul se termină.
- După cum s-a observat din fig.12.7.2.a, algoritmul crește mai întâi fluxul de-a lungul

drumului abdf, apoi de-a lungul drumului acef și în cele din urmă de-a lungul lui acdbef.

- De notat faptul că traseul acdf nu este ales pentru al treilea pas deoarece el ar crește fluxul cu două unități și nu cu trei unități, după cum se realizează în pasul selectat.



- Deși acest algoritm este simplu de implementat și relativ ușor de aplicat în practică pentru rețelele utilizate în mod curent, analiza sa este complicată.
 - În primul rând, CautPrioritar necesită un efort proporțional cu $O(n^2)$ în cel mai defavorabil caz.
 - Ca și alternativă poate fi utilizat algoritmul ArboreMinim (secvența [11.2.2.a]), dezvoltat pentru reprezentarea grafurilor ca și structuri de adiacențe, care necesită un timp proporțional cu $O((a+n) \log n)$ pentru fiecare iterație.
- Oricum este de așteptat că algoritmul din secvența [12.7.3.b] să dureze mai puțin decât procedura ArboreMinim (secvența [11.2.2.a]) deoarece spre deosebire de cea din urmă care determină toate drumurile care aparțin arborelui de acoperire minim, algoritmul de față se oprește la determinarea drumului care conduce la destinație.
- Problema care se pune în continuare se referă la numărul necesar de iterații.
- O margine superioară pentru acest număr este furnizată de următoarea **proprietate** anunțată tot de Edmonds și Karp.
 - Dacă în metoda Ford-Fulkerson se folosește drumul care crește fluxul cu cantitatea maximă posibilă, atunci numărul de pași necesari determinării fluxului maxim într-o rețea este mai mic decât $1 - \log_{M/M-1} f^*$ unde f^* reprezintă costul fluxului și M numărul maxim de arce dintr-o tăietură a rețelei.
- Această proprietate a fost enunțată **nu** atât pentru precizarea limitei numărului de iterații cât mai ales pentru a evidenția complexitatea analizei.
- De fapt această problemă a fost intens studiată și au fost dezvoltați algoritmi complecși care obțin performanțe mult mai bune decât algoritmul prezentat.
- Cu toate acestea algoritmul lui Edmonds și Karp este foarte greu de depășit în performanță pentru rețelele care apar în mod obișnuit în practică.

- Problema rețelelor de curgere (de transport) poate fi extinsă în diferite moduri și multe din variantele sale au fost studiate în detaliu datorită importanței pe care le prezintă pentru aplicațiile curente.
 - Spre exemplu **problema fluxului de mărfuri multiple** (“**multicommodity flux problem**”) presupune introducerea în rețea a mai multor destinații și a mai multor tipuri de materiale care parcurg rețeaua.
- Aceste generalizări fac ca problema fluxului maxim să devină mult mai dificilă și rezolvarea ei presupune algoritmi mult mai complicați.
 - Spre exemplu, până la ora actuală **nu** se cunoaște pentru acest caz o teoremă analoagă teoremei flux maxim – tăietură minimă.
- Alte extensii ale problemei rețelelor de curgere se bazează pe următoarele abordări:
 - Luarea în considerare a restricțiilor de capacitate din noduri - ușor de rezolvat prin introducerea unor arce artificiale care tratează aceste capacități
 - Utilizarea conductelor cu dublu sens - ușor de rezolvat prin înlocuirea arcului neorientat cu o pereche de arce orientate
 - Introducerea unei limite inferioare a fluxului în arce - dificil de rezolvat
- Dacă se ia în considerare faptul real că conductele presupun în afară de capacități de transport și costuri atunci problema **costului minim** al unei rețele pentru un flux precizat, devine o problemă complicată de cercetare.

12.8. Problema potrivirilor ("Matching")

- O problemă care apare destul de frecvent în practică este problema **perechilor stabile**.
- Ea se referă la asocierea în perechi a unor elemente în conformitate cu preferințele acestora, evitând conflictele.
 - Spre exemplu, în S.U.A. a fost implementat un sistem destul de complicat de plasare a studenților din anii superiori de la universitățile de medicină în spitale pentru efectuarea stagiului.
 - Fiecare student prezintă o listă cu spitale ordonate în ordinea preferințelor și fiecare spital prezintă o listă cu studenți de asemenea ordonați în ordinea preferințelor.
 - Problema complicată care trebuie rezolvată este aceea de a asocia fiecărui student un loc într-un spital, într-o manieră corectă respectând toate preferințele formulate.

- Algoritmul care realizează această asociere este foarte sofisticat deoarece este de așteptat ca cei mai buni studenți să fie solicitați de mai multe spitale, iar spitalele cele mai bune să fie solicitate de mai mulți studenți.
- Este însă evident faptul că nu în toate situațiile preferințele reciproce pot fi satisfăcute prin asocieri corespunzătoare și în mod efectiv deși algoritmul găsește soluția optimă în condițiile date, în multe situații apar nemulțumiri.
- **Problema perechilor (relațiilor) stabile** este un caz special al **problemei potrivirilor**, care la rândul ei este o problemă fundamentală a **teoriei grafurilor**, problemă care a fost foarte intens studiată.
- Fiind dat un graf, o **potrivire** este o **submulțime a arcelor grafului**, selectată astfel încât nici unul din nodurile conectate de arcele aparținând acestei submulțimi **nu** pare mai mult decât odată.
 - Aceasta înseamnă că nodurile conectate de aceste arce sunt asociate în **perechi**.
 - **Nu** este necesar să fie implicate toate nodurile.
 - Chiar dacă se încearcă ca potrivirea să acopere cât mai multe noduri posibile, diferitele posibilități de asociere conduc de regulă la numere diferite de noduri neutilizate.
- De un interes particular se bucură **potrivirea maximă** care conține numărul maxim posibil de arce respectiv numărul minim de noduri neutilizate.
 - Cazul ideal este acela al grafului cu $2n$ noduri și n arce care conectează noduri care apar o singură dată.
- O **potrivire completă** este potrivirea în care fiecare nod al grafului este conectat prin arce aparținând potrivirii.
 - Este evident că orice potrivire completă este în același timp și maximă [AH 85].
- În figura 12.8.a se prezintă o potrivire maximă pentru graful reprezentat (mulțimea arcelor îngroșate).

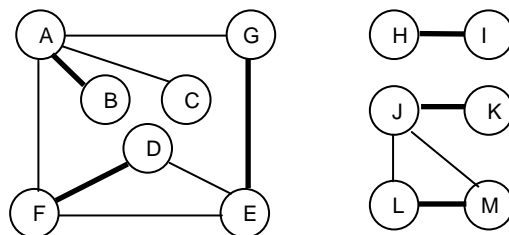


Fig.12.8.a. Potrivire maximă pentru un graf

- Determinarea unei astfel de potriviri este însă o problemă dificilă, chiar în cazul grafului simplu din figură.

- Spre exemplu, o metodă de determinare a potrivirilor ar putea consta în selecția arcelor eligibile în ordinea în care acestea apar la traversarea grafului prin **tehnica căutării în adâncime**.
- În cazul grafului din figură această metodă conduce la selecția arcelor AF , EG , HI , JK și LM care reprezintă o potrivire dar **nu** cea maximă.
- Problema repartizării studenților la spitale pentru satisfacerea stagiului, descrisă anterior, poate fi modelată cu ajutorul unui graf în care studenții și spitalele corespund nodurilor grafului iar arcele reprezintă preferințele.
- Există posibilitatea de a atribui **ponderi** preferințelor (de exemplu valori cuprinse între 1 și 10), situație care prefigurează **problema potrivirilor ponderate**.
- **Problema potrivirilor ponderate** se poate formula astfel.
 - Dându-se un graf ponderat, problema potrivirilor ponderate constă în determinarea unei mulțimi de arce, astfel încât nici un nod nu apare mai mult decât o singură dată și suma ponderilor arcelor este maximă [SE 88].
 - Există și o altă variantă a acestei probleme în care se ține cont de **ordinea** în care sunt formulate preferințele, fără a mai fi necesară acordarea de ponderi.
- Problema potrivirilor suscită un interes sporit din partea matematicienilor și informaticienilor din cauza naturii sale intuitive și a largii aplicabilități.
- Soluționarea ei în cazul general care presupune utilizarea într-o manieră complexă a matematicii combinatoriale depășește cadrul prezentului volum.
- O variantă cunoscută a problemei potrivirilor ponderate o **reprezintă problema relațiilor stabile** (“**stable marriage problem**”), formulată de regulă în cadrul extrem de delicat al selecției partenerilor de viață.
 - În volumul 1 al cărții de față, §5.4.5 s-a prezentat o modalitate de rezolvare a unei variante a acestei probleme, rezolvare care în contextul unei abordări recursive bazată pe tehnica backtracking, determină toate soluțiile posibile ale problemei.
 - Inconveniente sunt legate de eficiența relativ scăzută datorată utilizării recursivității și contextul rigid al formulării problemei.
- În cadrul subcapitolului de față, vor fi dezvoltate alte două metode eficiente de determinare a **potrivirii maxime** în contextul simplificat al **grafurilor bipartite**.

12.8.1. Grafuri bipartite

- Așa cum s-a precizat, problema potrivirilor este o problemă reprezentativă pentru foarte multe situații care apar în practică.
- Alte situații în afara celor deja prezentate, specifice acestei probleme, sunt:
 - Repartizarea șomerilor pe posturile disponibile,

- Alcătuirea orarului prin repartizarea cursurilor pozițiilor orarului,
- Repartizarea membrilor parlamentului pe comisii, etc.
- Grafurile care modelează astfel de cazuri și numesc **grafuri bipartite**.
- După cum s-a mai precizat un **graf bipartit** este acel graf ale cărui noduri pot fi divizate în două mulțimi disjuncte și ale cărui arce conectează exclusiv noduri aparținând unul, uneia dintre mulțimi iar celălalt celei de-a doua mulțimi (Capitolul 10, &10.1).
- În figura 12.8.1.a apare un exemplu de graf bipartit.

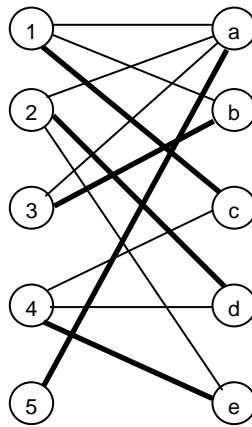


Fig.12.8.1.a. Graf bipartit și o potrivire maximă a sa

- În ceea ce privește reprezentarea grafurilor bipartite rămân valabile modalitățile de reprezentare clasice definite în cazul grafurilor normale, adică matricile de adiacențe respectiv structurile de adiacențe.
- Revenind la exemplul din figura 12.8.1.a se observă că s-au notat cu litere mici elementele unei mulțimi de noduri și cu cifre elementele celeilalte.
- În acest context, **problema potrivirii maxime** pentru grafurile bipartite poate fi formulată astfel.
 - Se cere să se determine cea mai mare submulțime a mulțimii perechilor literă-cifă care se bucură de proprietatea că oricare două perechi ale submulțimii **nu** conțin aceeași literă sau aceeași cifră.
- Rezolvarea eficientă a problemei potrivirii maxime este o sarcină dificilă.
- O metodă directă de rezolvare poate fi următoarea: se generează toate potrivirile posibile și se selectează cea care conține cel mai mare număr de arce.
 - Dezavantajul acestei metode este acela că timpul ei de execuție este o funcție exponențială în raport cu numărul de arce.
- În continuare se prezintă două metode mai eficiente care rezolvă această problemă.

12.8.2. Determinarea potrivirii maxime prin tehnica drumurilor augmentate

- Unul din algoritmi eficienți de determinare a potrivirii maxime utilizează tehnica **drumurilor augmentate** (“**augmenting path**”).
- Fie P o potrivire în graful G .
- Un nod x este “**potrivit**”, adică constituit într-o pereche, dacă este extremitatea unui arc aparținând lui P .
- Un drum care conectează două noduri care nu au fost încă “potrivite” și în care arcele alternative aparțin lui P , se numește **drum augmentat** relativ la P .
- Se observă că un **drum augmentat** trebuie să fie de lungime impară și trebuie să înceapă și să se termine cu arce care nu aparțin lui P .
- Se subliniază de asemenea faptul că fiind dat un drum argumentat D se poate găsi întotdeauna o potrivire mai mare în graful G , extrăgând din P acele arce care sunt în D și apoi adăugând lui P , arcele din D care inițial nu au fost în P .
- Această nouă potrivire este $P \oplus D$, unde semnul \oplus reprezintă operatorul “sau exclusiv” aplicat mulțimilor.
- De fapt noua potrivire conține acele arce din care sunt ori în P ori în D dar nu în amândouă.
- În figura 12.8.2.a (a) apare **un graf bipartit** și o **potrivire** P constând din arcele îngroșate $(1, a)$, $(3, b)$ și $(4, c)$.
 - Drumul $2, a, 1, c, 4, d$ din fig. 12.8.2.a (b) este un **drum augmentat** relativ la P .
 - În aceeași figură desenul (c) materializează potrivirea mai mare $(1, c)$, $(2, a)$, $(3, b)$, $(4, d)$ obținută prin extragerea din P a arcelor ce aparțin drumului augmentat $(a, 1)$, $(c, 4)$ și apoi adăugând lui P celelalte arce ale drumului $(2, a)$, $(1, c)$ și $(4, d)$.

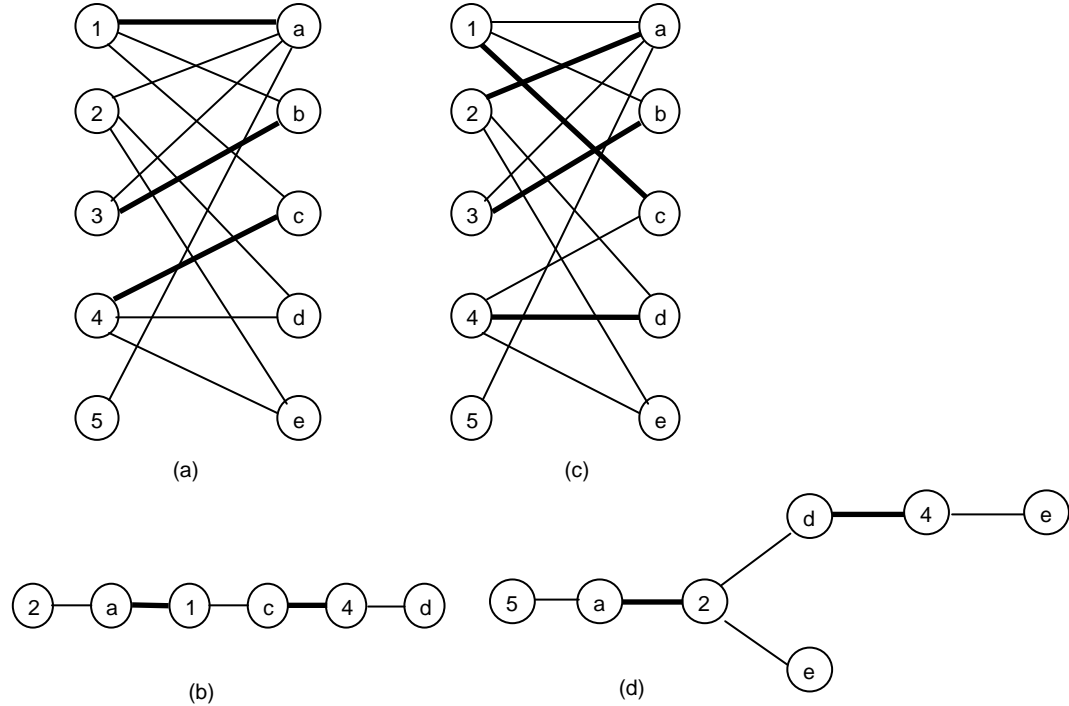


Fig.12.8.2.a. Potriviri și drumuri augmentate într-un graf bipartit

- O **observație extrem de importantă** este următoarea: P este **potrivirea maximă**, dacă și numai dacă, **nu** mai există nici un drum augmentat relativ la P .
 - Se presupune că P și Q sunt două potriviri ale lui G
 - Se presupune de asemenea că $|P| < |Q|$ ($|P|$ precizează numărul de arce din P).
 - Pentru a vedea dacă $P \Delta Q$ conține un drum augmentat relativ la P , se consideră graful $G' = (N, P \Delta Q)$.
 - Deoarece atât P cât și Q sunt ambele potriviri în G , fiecare nod aparținând lui N este o extremitate pentru cel mult un arc al lui P și o extremitate pentru cel mult un arc al lui Q .
 - Astfel, fiecare **componentă conexă** a lui G' formează un drum simplu (posibil un ciclu) care conține arce **alternând** între P și Q .
 - Fiecare drum care nu este un ciclu, este fie un drum augmentat relativ la P fie un drum augmentat relativ la Q , după cum conține mai multe arce din P respectiv din Q .
 - Fiecare ciclu are un număr egal de arce din P și Q .
 - Deoarece $|P| < |Q|$, $P \Delta Q$ are mai multe arce din Q decât din P și astfel conține cel puțin un **drum augmentat** relativ la P [AH 85].
- În continuare, se poate formula algoritmul care determină potrivirea maximă P pentru un

graf $G = (N, A)$.

- (1) Se punește cu $P = \emptyset$;
 - (2) Se determină un drum augmentat D relativ la P și se înlocuiește P cu $P \sqcup D$;
 - (3) Se repetă pasul (2) până când nu mai există nici un drum augmentat.
 - (4) În acest moment P reprezintă potrivirea maximă.
- Mai rămâne de precizat modul în care poate fi determinat un **drum augmentat** relativ la o potrivire P .
 - Acest lucru se va realiza în contextul unui **graf bipartit** G , ale cărui noduri sunt partiționate în două mulțimi N_1 și N_2 .
 - În continuare, utilizând o procedură similară “căutării prin cuprindere”, se construiește un graf al drumului augmentat pentru G relativ la potrivirea P , parcurgând succesiv nivelurile $i = 0, 1, 2, \dots, k$.
 - Nivelul 0 constă din toate nodurile “nepotrivite” ale lui N_1 .
 - La **nivelul impar** i se adaugă noile noduri care sunt adiacente nodurilor nivelului $i-1$ prin arce care **nu aparțin potrivirii** și care vor fi adăugate lui P .
 - La **nivelul par** i se adaugă noile noduri care sunt adiacente nivelului $i-1$ prin arce care **aparțin potrivirii** P .
 - Se continuă construcția grafului drumului augmentat nivel cu nivel până când un nod “nepotrivit” este adăugat unui nivel impar sau până când nu mai poate fi adăugat nici un nod.
 - Dacă există un drum augmentat relativ la P , un nod “nepotrivit” x va fi adăugat în consecință unui nivel impar.
 - Drumul de la x la oricare nod al nivelului 0 este un **drum augmentat** relativ la P .
 - În figura 12.8.2.a (d) se prezintă un drum augmentat pentru graful (a), relativ la potrivirea (c).
 - În acest context $N_1 = \{1, 2, 3, 4, 5\}$ iar $N_2 = \{a, b, c, d, e\}$.
 - La momentul considerat, la nivelul 0, mulțimea nodurilor “nepotrivite” ale lui N_1 conține un singur element, nodul 5, cu care se pornește construcția grafului drumului augmentat.
 - La nivelul 1 se adaugă arcul care **nu aparține** potrivirii $(5, a)$.

- La nivelul 2 se adaugă arcul $(a, 2)$ care **aparține** potrivirii.
- La nivelul 3 se poate adăuga fie arcul $(2, d)$ fie arcul $(2, e)$ nici unul dintre ele neaparținând potrivirii.
- Dacă se adaugă arcul $(2, d)$, se poate adăuga în continuare arcul $(d, 4)$ la nivelul 4 (aparține potrivirii), după care se poate adăuga arcul $(4, e)$ la nivelul 5 (nu aparține potrivirii)
- Deoarece nodul e este “nepotrivit” din punctul de vedere al grafului drumului augmentat, construcția acestui graf se termină în ambele cazuri după adăugarea nodului e .
- După cum se observă s-au construit două drumuri augmentate după cum se remarcă în figura 12.8.2.a (d)
- Ambele drumuri $e, 4, d, 2, a, 5$ și $e, 2, a, 5$ sunt **drumuri augmentate** relativ la potrivirea din fig. 12.8.2.a (c).
- Spre exemplu dacă se utilizează primul drum și se extrag din potrivirea P reprezentată la (c) arcele arcele din drum care aparțin lui P $(4, d)$ și $(2, d)$, respectiv se adaugă arcele din drumul augmentat care nu aparțin lui P $(e, 4)$, $(d, 2)$, $(a, 5)$ se obține potrivirea maximă din figura 12.8.1.a.
- Se presupune că G are n noduri și a arce.
- Construcția grafului drumului augmentat pentru o potrivire dată, necesită $O(a)$ pași de execuție dacă se utilizează reprezentarea bazată pe structuri de adiacențe.
 - Deci fiecare drum augmentat nou necesită un efort de calcul proporțional cu $O(a)$.
- Pentru determinarea potrivirii maxime este necesară determinarea a cel mult $n/2$ drumuri augmentate, deoarece fiecare dintre ele mărește potrivirea curentă cu cel puțin un arc.
 - În consecință, pentru grafuri bipartite, potrivirea maximă poate fi determinată în $O(n*a)$ unități de timp de execuție.

12.8.3. Determinarea potrivirii maxime prin metoda căutării în rețele de curgere

- O altă soluție eficientă pentru determinarea potrivirii maxime poate fi formulată după cum urmează.
- Pentru a rezolva o instanță particulară a problemei potrivirilor, se va construi o instanță corespunzătoare a **problemei rețelelor de curgere** a cărei soluție va fi determinată utilizând metoda prezentată în secțiunea anterioară.
- Utilizând această soluție, în continuare se poate rezolva și problema potrivirilor în același context.

- De fapt în această manieră, problema potrivirilor se reduce la problema rețelelor de curgere.
- Construcția rețelei este directă.
 - (1) Dându-se o instanță a unei potriviri pentru un graf bipartit, se construiește o instanță a **rețelei de curgere** adăugând un **nod sursă** din care pornesc arce spre toate nodurile uneia dintre mulțimile de noduri ale grafului bipartit.
 - (2) Se adaugă în continuare toate arcele grafului bipartit care conectează nodurile primei mulțimi cu nodurile aparținând celei de-a doua.
 - (3) La sfârșit se adaugă un nod destinație și un set de arce care conectează nodurile celei de-a doua mulțimi a grafului bipartit cu acest nod.
 - (4) Toate arcele care apar în rețea se consideră de capacitate unu.
- În figura 12.8.3.b se prezintă modul de construcție al rețelei de curgere pentru graful bipartit din fig. 12.8.3.a împreună cu pașii rezolvării problemei rețelei și implicit a determinării potrivirii maxime.

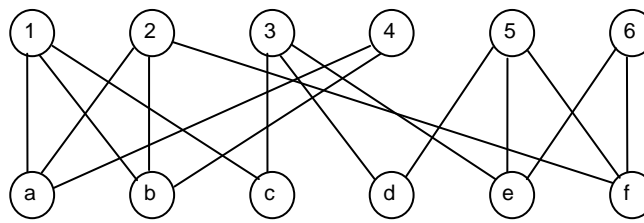


Fig.2.8.3.a. Graf bipartit

- Din reprezentare rezultă în mod evident partajarea nodurilor grafului bipartit, direcția fluxurilor precum și faptul că deoarece toate capacitățile sunt 1, fiecare drum prin rețea corespunde unui arc al potrivirii.
- Astfel în exemplul din figură, desenele (a), (b), (c) și (d) materializează primii patru pași care conduc la determinarea arcelor corepunzătoare unei potriviri parțiale: a1 , b2 , c3 și d5.

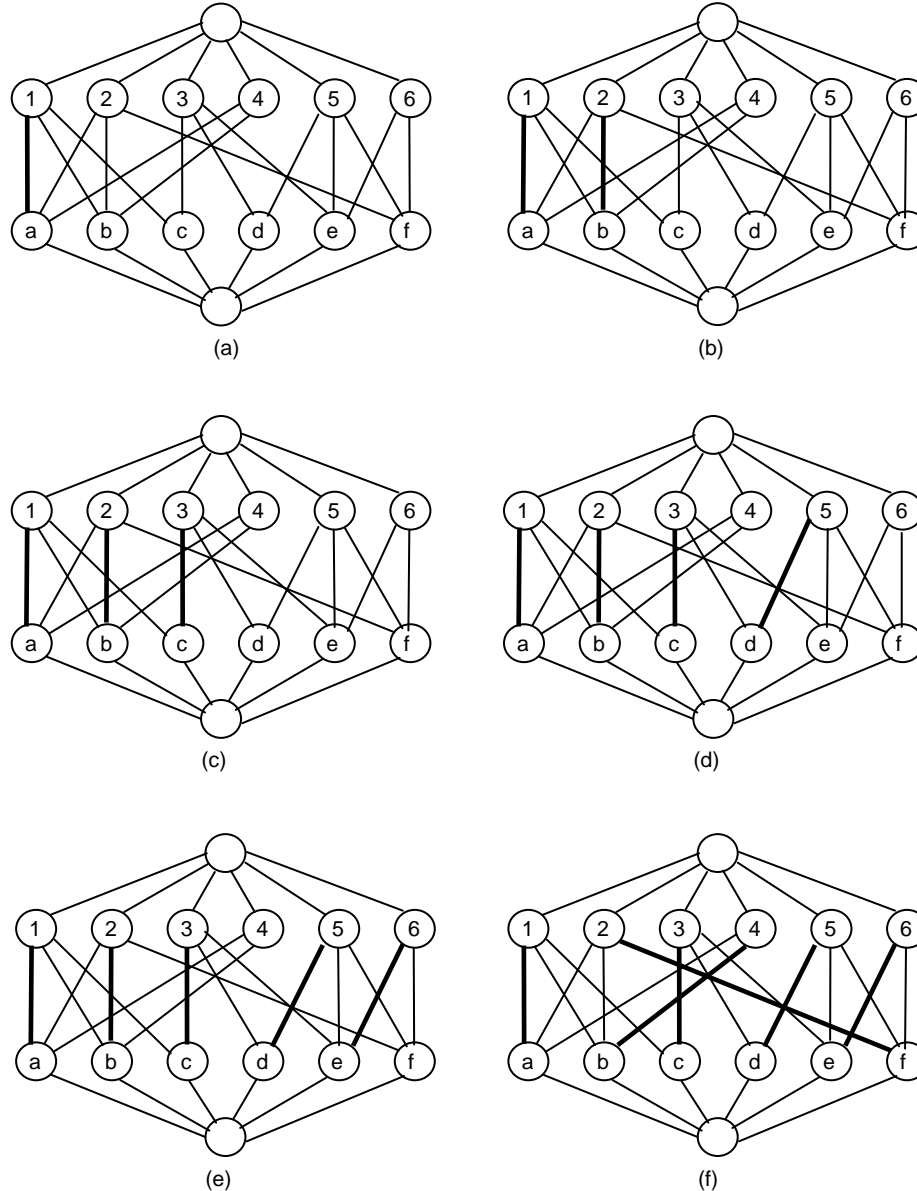


Fig.12.8.3.b. Utilizarea rețelelor de curgere în determinarea potrivirii maxime pentru un graf bipartit

- Pentru determinarea acestor drumuri se utilizează secvența [12.7.3.b].
- Fiecare apel al procedurii `CautPrioritar` determină fie găsirea unui drum care crește fluxul total cu o unitate fie termină căutarea.
- În pasul (e) toate drumurile directe prin rețea au fost selectate și algoritmul trebuie să utilizeze arce de tip “înapoi”.
- Drumul găsit în acest pas este 4 , b , 2 , f .
 - Acest drum, în mod evident determină creșterea fluxului în rețea după cum s-a văzut în secțiunea anterioară.
- În contextul de față, un drum poate fi conceput ca și un set de pași prin care se crează o nouă potrivire parțială (utilizând unul sau mai multe arce) pornind de la potrivirea curentă.

- În situația reprezentată în desen (e), această construcție decurge în mod natural din traversarea arcelor din rețea în ordinea:
 - (1) “4b” ceea ce presupune adăugarea arcului (b, 4) potrivirii,
 - (2) “b2” ceea ce înseamnă extragerea arcului (b, 2)
 - (3) “2f” ceea ce presupune adăugarea arcului (f, 2) potrivirii.
- Astfel, după ce drumul e construit, se ajunge la potrivirea a1, b4, c3, d5, e6, f2.
- În mod echivalent fluxul prin rețea este produs de conductele pline care conectează nodurile precizate și este maxim în situația dată.
- Demonstrația faptului că potrivirea conține exact arcele care umplute la capacitate determină fluxul maxim prin rețea este imediată.
 - (1) În primul rând, rețeaua de curgere conduce întotdeauna la o potrivire legală element care decurge din următorul raționament:
 - Întrucât fiecare nod al rețelei are un arc de capacitate unu care îl traversează (intră sau iese din el), rezultă că prin fiecare nod poate trece o singură unitate de flux ceea ce implică faptul că fiecare nod va fi inclus o singură dată în potrivire.
 - (2) În al doilea rând, nici o potrivire nu poate avea mai multe arce, deoarece o astfel de potrivire ar conduce la un flux superior fluxului maxim determinat de algoritm.
- Astfel, pentru a determina potrivirea maximă pentru un graf bipartit, se transformă graful într-o rețea de curgere potrivită utilizării algoritmului dezvoltat în secțiunea precedentă.
- Este evident faptul că rețeaua care rezultă în acest caz este mai simplă decât în cazul grafurilor oarecare pentru care a fost conceput algoritmul.
 - Din acest motiv, algoritmul dezvoltat este oarecum mai eficient în acest caz particular.
- În consecință, luând în considerare performanțele algoritmului de căutare în rețele, potrivirea maximă pentru un graf bipartit poate fi determinată în:
 - $O(n^3)$ pași în cazul grafurilor dense reprezentate prin matrice de adiacențe
 - $O(n(n+a) \log n)$ pași în cazul grafurilor rare reprezentate prin structuri de adiacențe.
- Demonstrația este imediată:
 - Construcția preconizată asigură faptul că fiecare apel al procedurii CautăPrioritar adaugă cel puțin un arc potrivirii deci vor fi necesare cel mult $n/2$ apeluri ale procedurii pe parcursul execuției algoritmului.

- Astfel timpul total necesitat de execuția algoritmului este proporțional cu produsul dintre factorul n și performanța algoritmului de căutare în rețele utilizat.